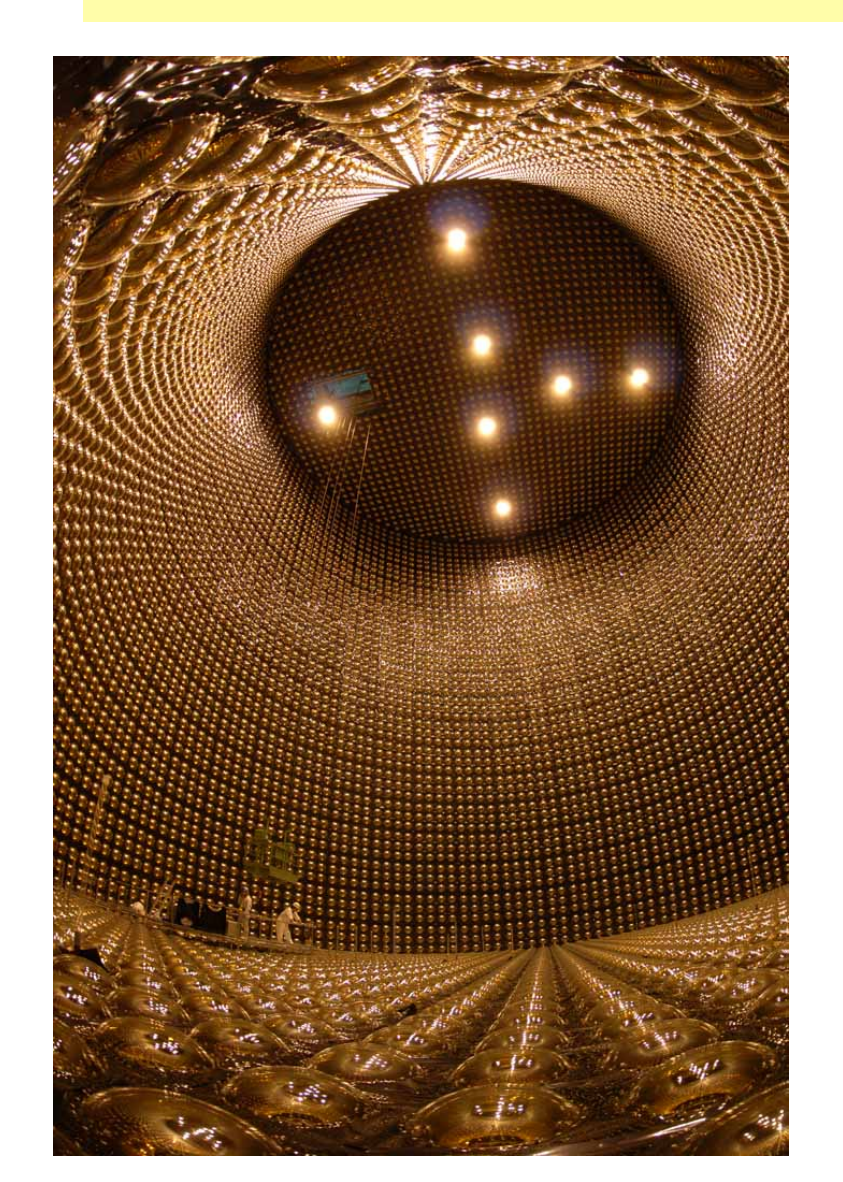
### SK future 大気v、太陽v、Gd



中畑 雅行 神岡宇宙素粒子研究施設/ 数物連携宇宙研究機構

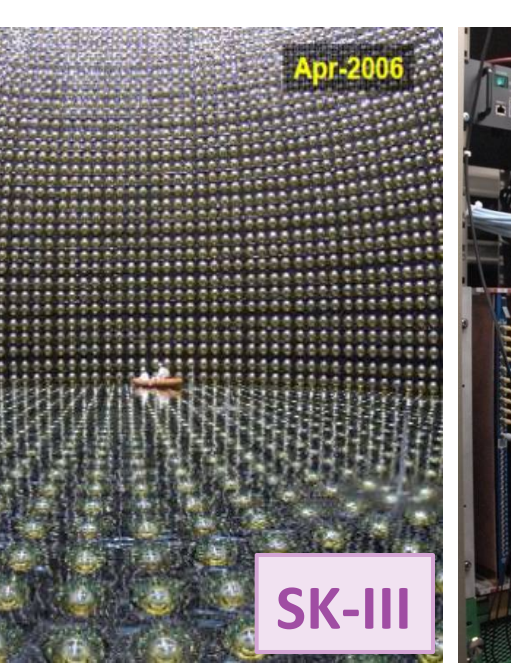
#### Super-Kamiokandeの歴史

2003 2005 2006 2007 2008 2009 1996 1997 1998 1999 2000 2001 2002 2004

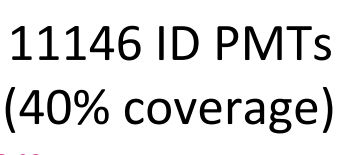




SK-II



**SK-IV** SK-III



SK-I

Energy **5.0 MeV Threshold** (total electron energy)

**5182 ID PMTs** (19% coverage)

**7.0 MeV** 



11129 ID PMTs (40% coverage)

**4.5 MeV** work in progress



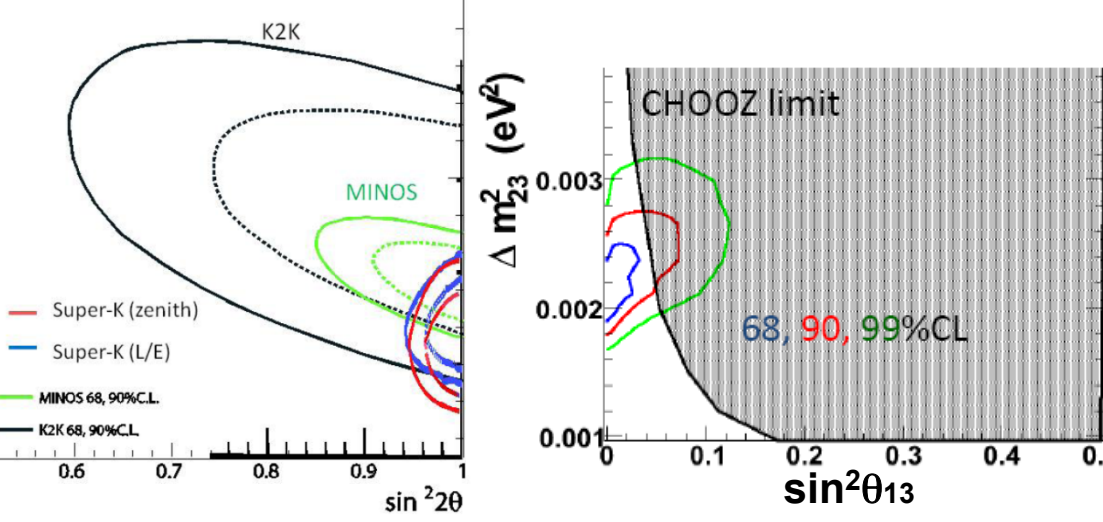
< 4.0 MeV target

#### 大気v:現状のまとめ

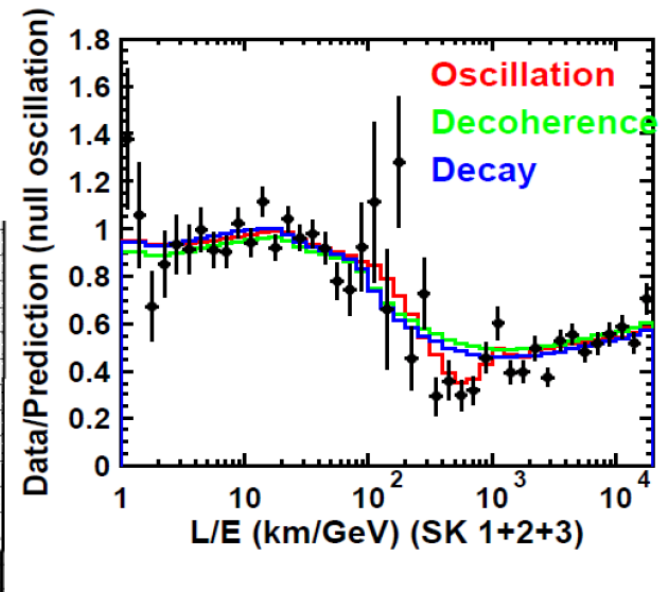
#### • ニュートリノ振動解析

 $\Delta m^2 [10^{-3} eV^2]$ 

- SK-IIIを追加。
  - 2806days (173ktonyr) for FC+PC
  - 3109days for up-mu
- $-\frac{\sin^2 2\theta}{0.95}$ , 0.0017< $|\Delta m^2|$ <0.0026 eV<sup>2</sup> (90% CL)
- 加速器実験(MINOS、sin²20>0.85, 0.0021<|△m²|<0.0027 eV²)と相補的。混合 角はSKから強い制限。
- sin<sup>2</sup>θ<sub>13</sub><0.07 (3世代解析、90%CL)
- 今後full振動解析(3つの混合角とCPδ全てを 考慮)を行う予定。



# Exotic Modelの検証 – ν Decoherence – ν Decay – νμ→νs – MaVaN models – Flavor Changing NC – Iepton universality 5.4σ 4.4σ 7.3σ 3.5-3.8σ <6.5x10-3</li> <5.0x10-2</li>



- WIMP起源のμ flux上限値:
  - <4.1-8.8x10<sup>-15</sup>/cm<sup>2</sup>/sec(Mwimp=10GeV)
  - <2.7-4.1x10<sup>-15</sup>/cm<sup>2</sup>/sec(Mwimp=10TeV)
- GRB080319B APJ 697 (2009) 730

#### 大気∨将来:有限のθ13の探索

10

Ev (GeV)

-0.9

-1

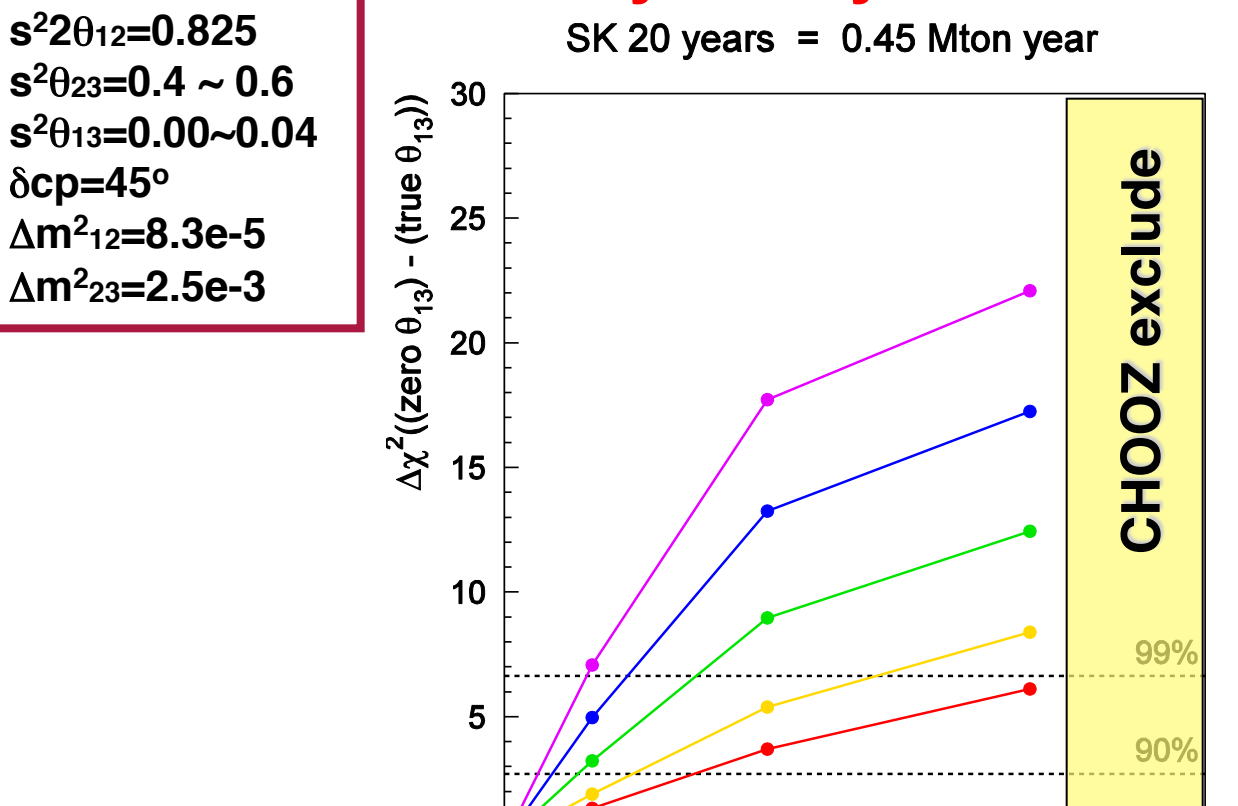
One mass scale dominance approx. Simulation (4.5 Mton·yr) 1+multi-ring, e-like, 2.5~5 GeV/c

 $\Delta m^2_{12} \sim 0$  ,  $\Delta m^2_{13} \sim \Delta m^2_{23} = \Delta m^2$ Electron appearance 3000  $P(\nu_{\mu} \rightarrow \nu_{e}) = \sin^{2} \theta_{23} \cdot \sin^{2} 2\theta_{13} \cdot \sin^{2} \left(\frac{1.27 \Delta m^{2} L}{5}\right)$ 2500 only 3 parameters 2000  $P(v_u \rightarrow v_e)$  at SK **1**500  $\Delta m^2 = 0.003 \text{ eV}^2$ ,  $\sin^2 \theta_{23} = 0.5$ ,  $\sin^2 \theta_{13} = 0.026$ 0.5 1000 -0.1  $s^213 \sim 0.04$ -0.2  $s^213 = 0.00$ 0.4 500 -0.3 null oscillation -0.4 0.3  $\cos\!\theta_{\text{zenith}}$ 0.2 -0.7 Several GeVのニュートリノで物質 -0.8 0.1

効果によるv。の増加が期待できる。

### 大気v将来: $\theta_{13}$ の感度

Sensitivity of 20 years' SK data



0.01

0 0

もしθ13がCHOOZ limitの近くにあれば、有限のθ13 が SKの大気ニュートリノで観測できる可能性がある。

0.03

0.04

0.05

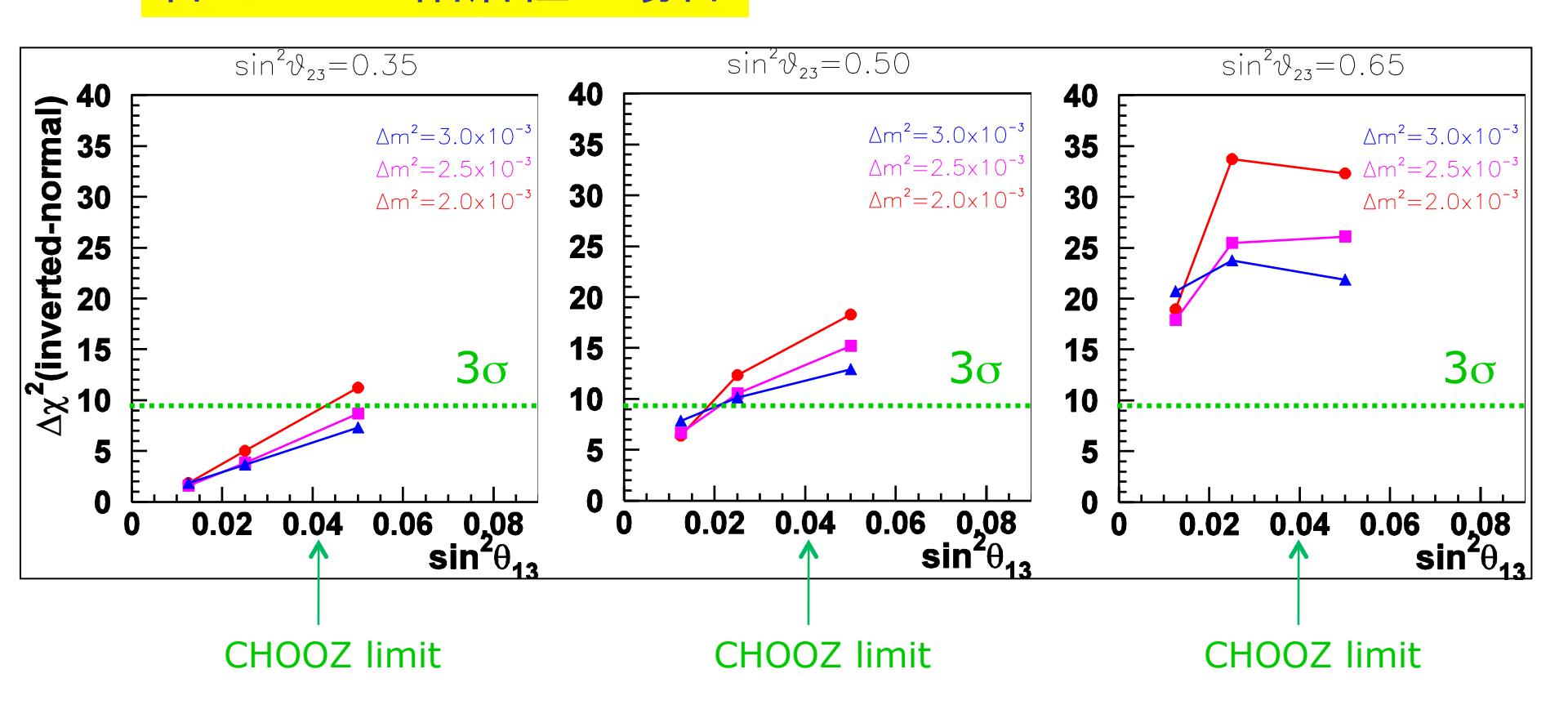
 $\sin^2\!\theta_{13}$ 

0.02

### 質量階層性への感度(1)

#### 答えが正の階層性の場合

1.8 Mton·yr = 3.3yr HK (SK80年分に相当。20年分だと統計1/4で有意性は1/2)

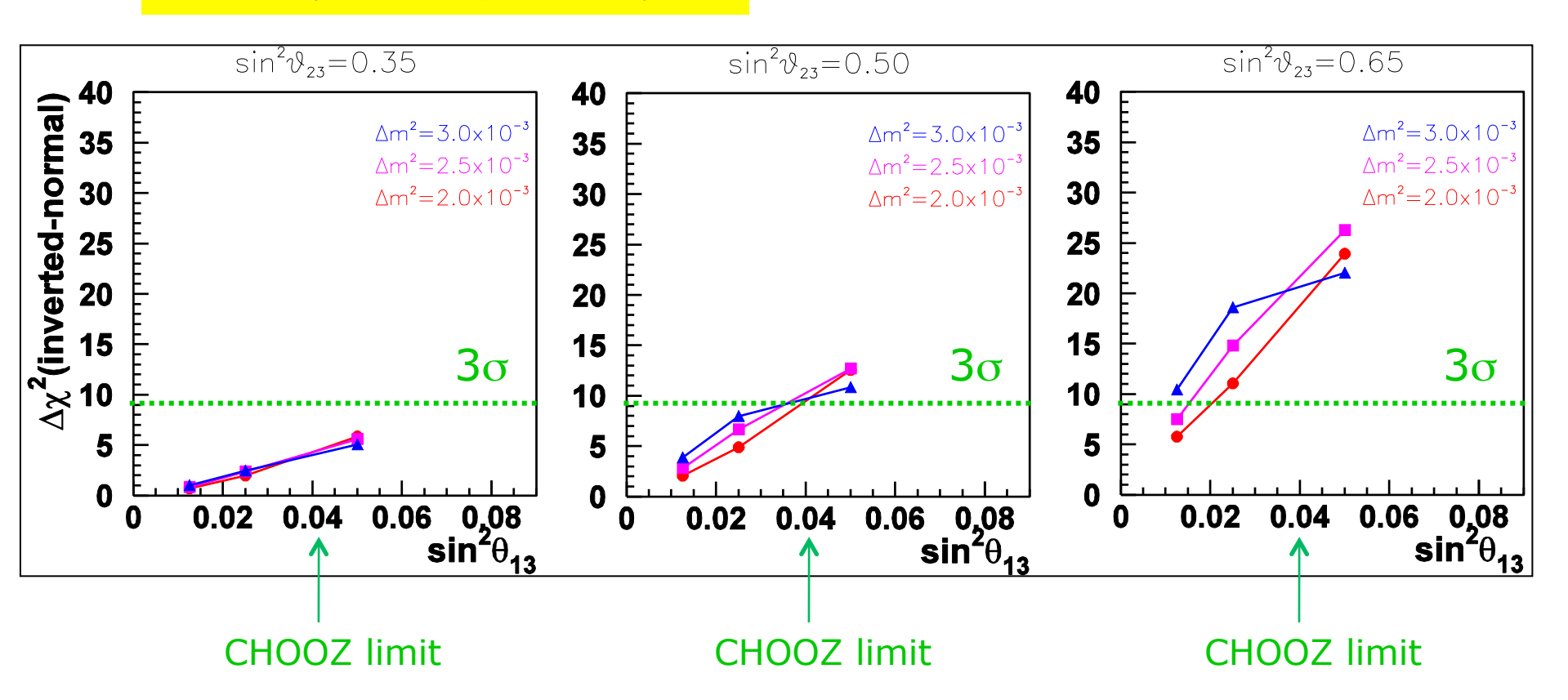


SK 20年分のデータの場合は、 $3\sigma \lozenge 1.5\sigma$ 

### 質量階層性への感度(2)

#### 答えが負の階層性の場合

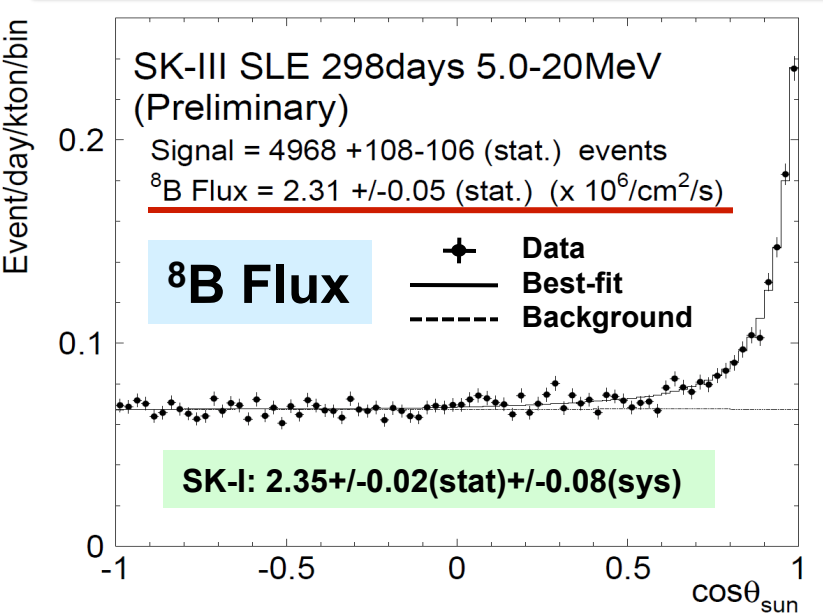
1.8 Mton·yr = 3.3yr HK (SK80年分に相当。20年分だと統計1/4で有意性は1/2)

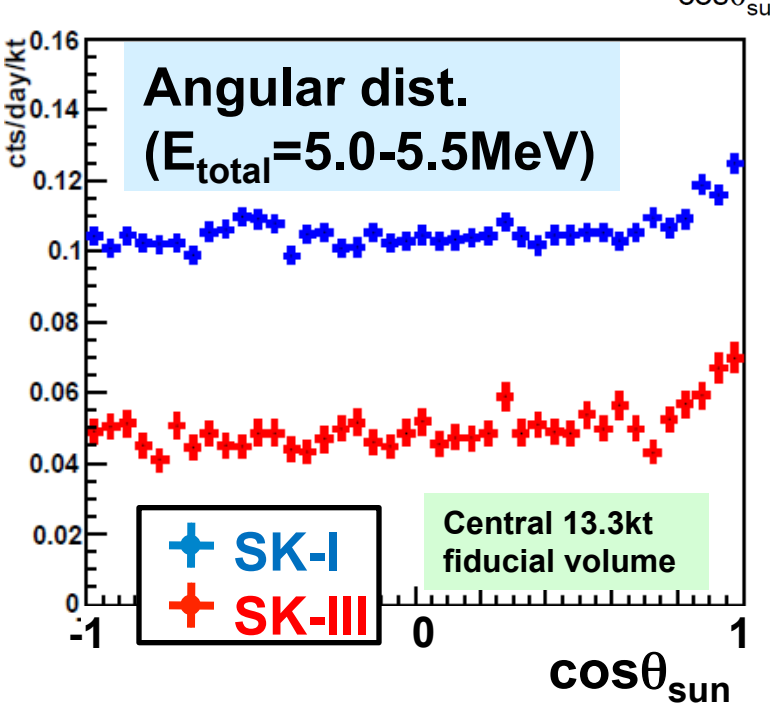


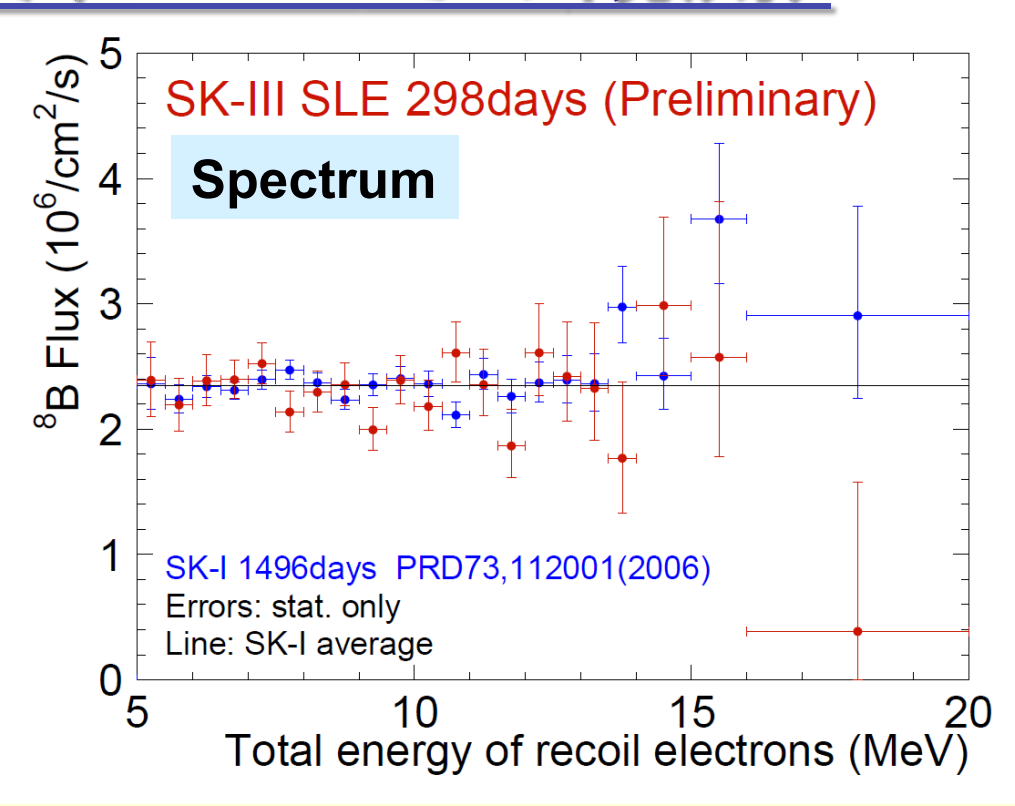
SK 20年分のデータの場合は、 $3\sigma \lozenge 1.5\sigma$ 

太陽vとKamL<u>ANDの比較</u> KamLAND paper Latest global analysis nalysis solar global (+NCD NC flux, newga) solar global (+NCD NC flux, newga, +SK-III) KamLAND KamLAND KamLAND \ 95% C.L. 10 99% C.L.  $\Delta m_{21}^2 \left(eV^2\right)$ 99.73% C.L. best fit solar global delta-chi2 2σ ----- 95% C.L. 2 ---- 99% C.L. 1σ 99.73% C.L. best fit 0.0001 2e-05 4e-05 6e-05 8e-05 0.00012 0.00014  $\Delta m^2$  $10^{-1}$  $\tan^2\theta_{12}$ Solar global solar global (+NCD NC flux)
solar global (+NCD NC flux, newga)
solar global (+NCD NC flux, newga, +SK-III)
KamLAND Fogli et al. 10 G.L. Fogli et al. 0905.3549v2  $3\sigma$ 20  $\sin^2 \vartheta_{13} = 0.03$  $\vartheta_{13} = 0$  $\delta m^2 (10^{-5} eV^2)$ delta-chi2 KamLAND 2σ 10 2 1σ 1, 2, 3 σ 0.2 0.3 0.4 0.5 0.6 0.7 8.0 0.9 0.1 0.2 0.3 0.4 0.5 0 0.1 0.2 0.3 0.4 0.5  $tan^2\theta$  $\sin^2 \vartheta_{12}$  $\sin^2 \vartheta_{12}$ 

### 太陽v:最新の結果(SK-IIIでの観測)

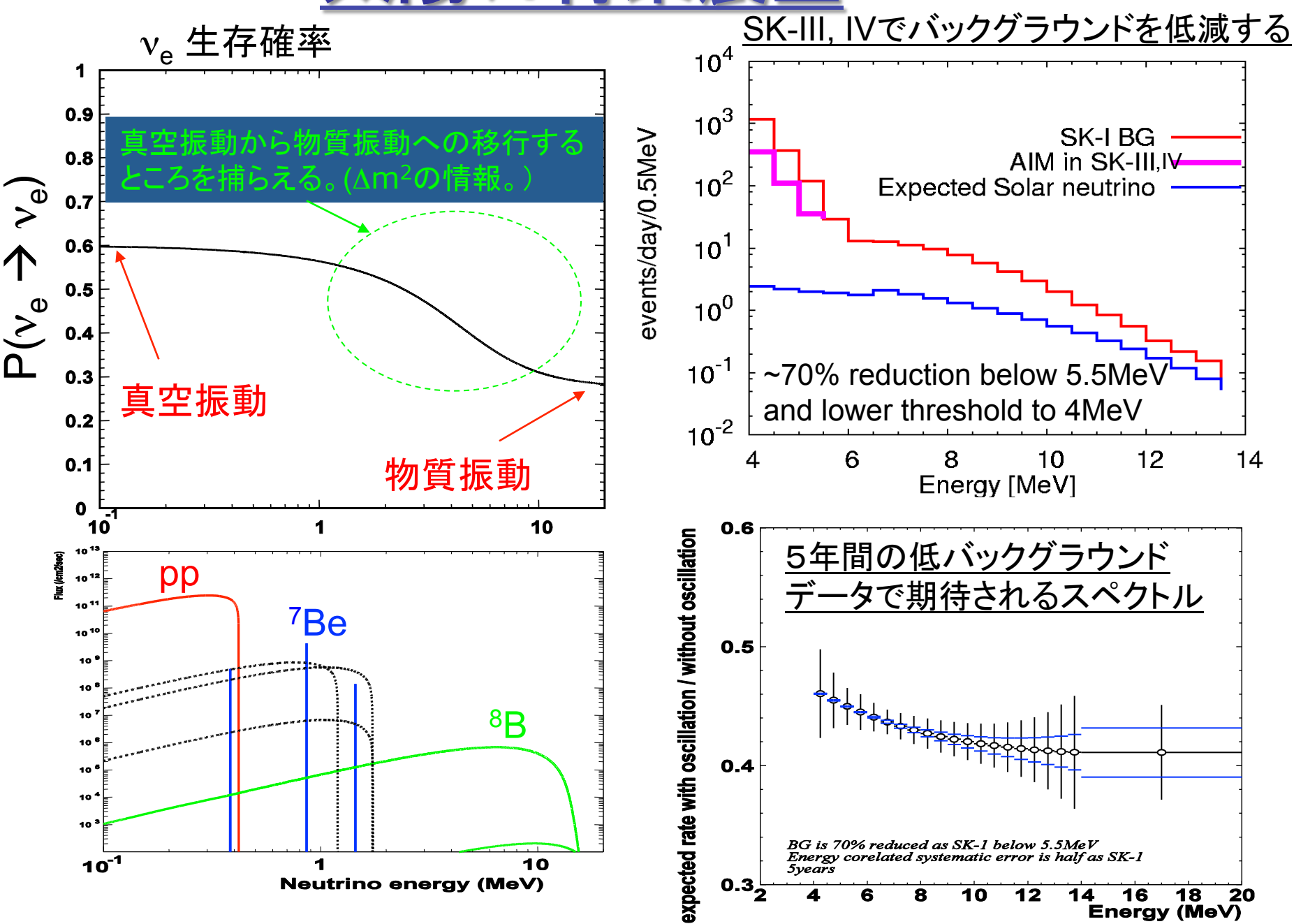




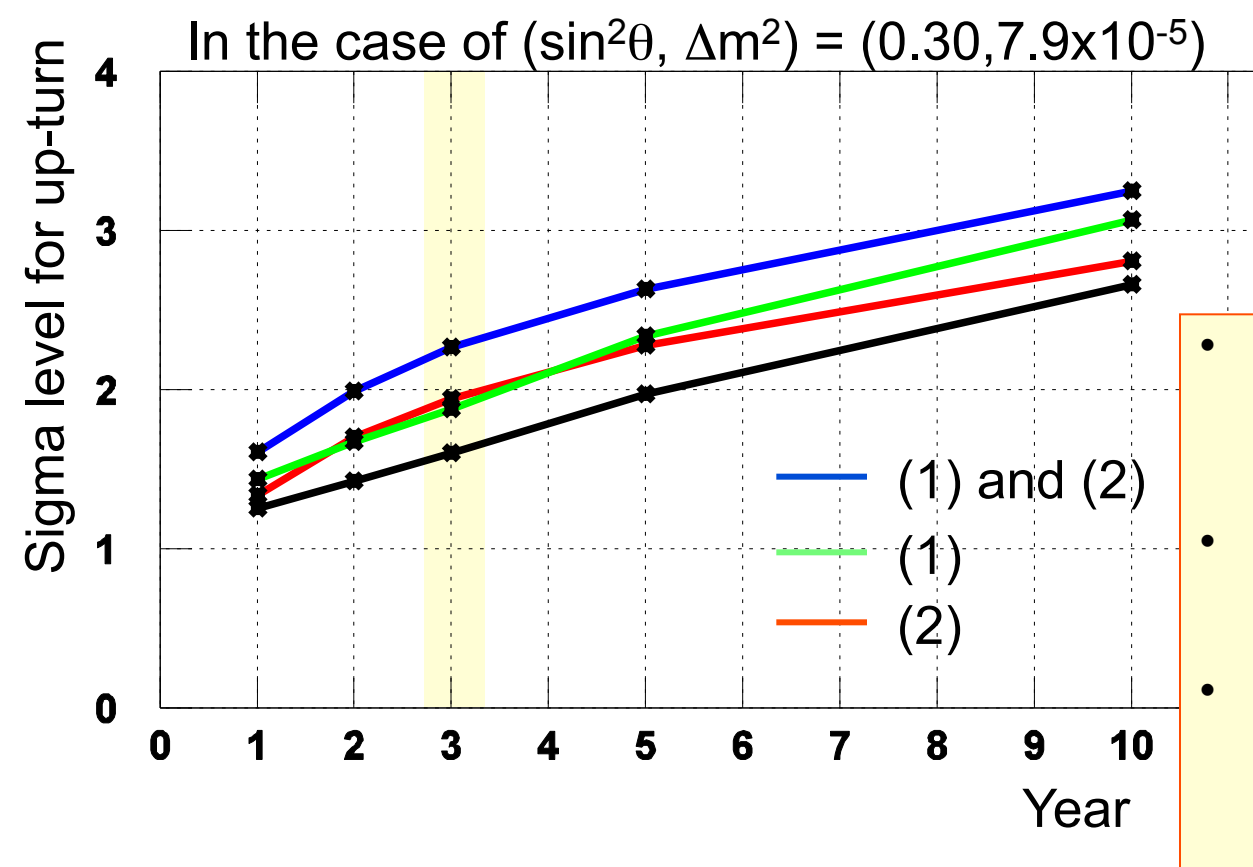


- 再構成プログラム、データ解析プログラムの 調整がほぼ終わった。
- ■改良した再構成プログラムでは角度分解能 がSK-Iに比べて10%よくなった。
- ■低エネルギー領域において、SK-IIIはSK-Iよりもバックグランドレベルが低い。

### 太陽~:将来展望



## Sensitivity of the upturn measurement



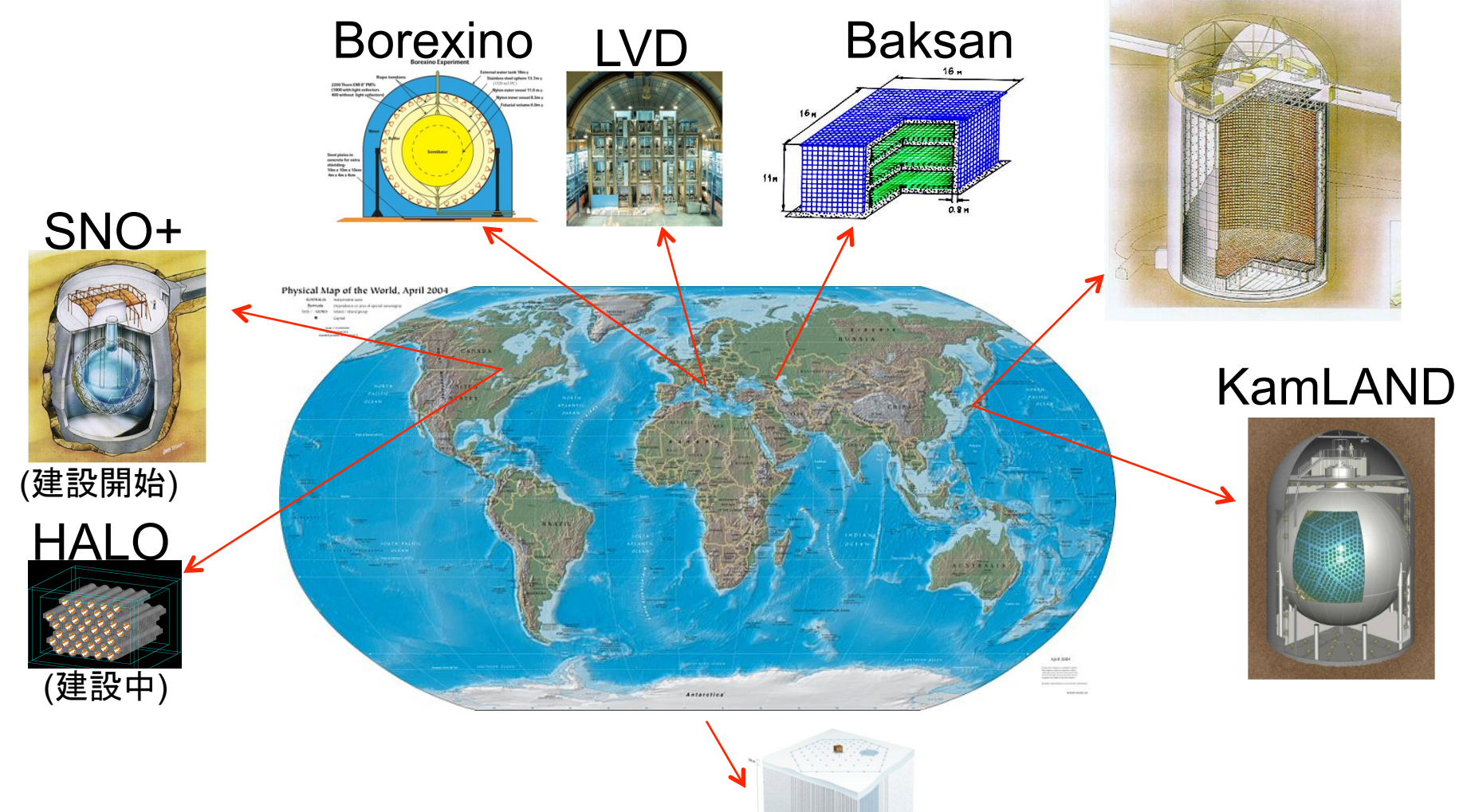
- First target: 2 sigma level up-tern discovery for 3 years observation. (or exclude the up-tern)
- Need to enlarge fiducial volume with low BG as large as possible
- Also the reduction of the energy correlated systematic error is important.
- (1) Enlarge fiducial volume to 22.5kton with low B.G.
- (2) Half energy correlated systematic error as SK-1.

The black line shows the 13.3kton (<5.5MeV), 22.5kton (>5.5MeV) fiducial volume with the same energy correlated error as SK-1 Y.Koshio

### 世界の超新星ニュートリノ観測装置

(現在走っている物、或いは建設中)

Super-K



IceCube

### 我々の銀河で超新星爆発が起きた場合

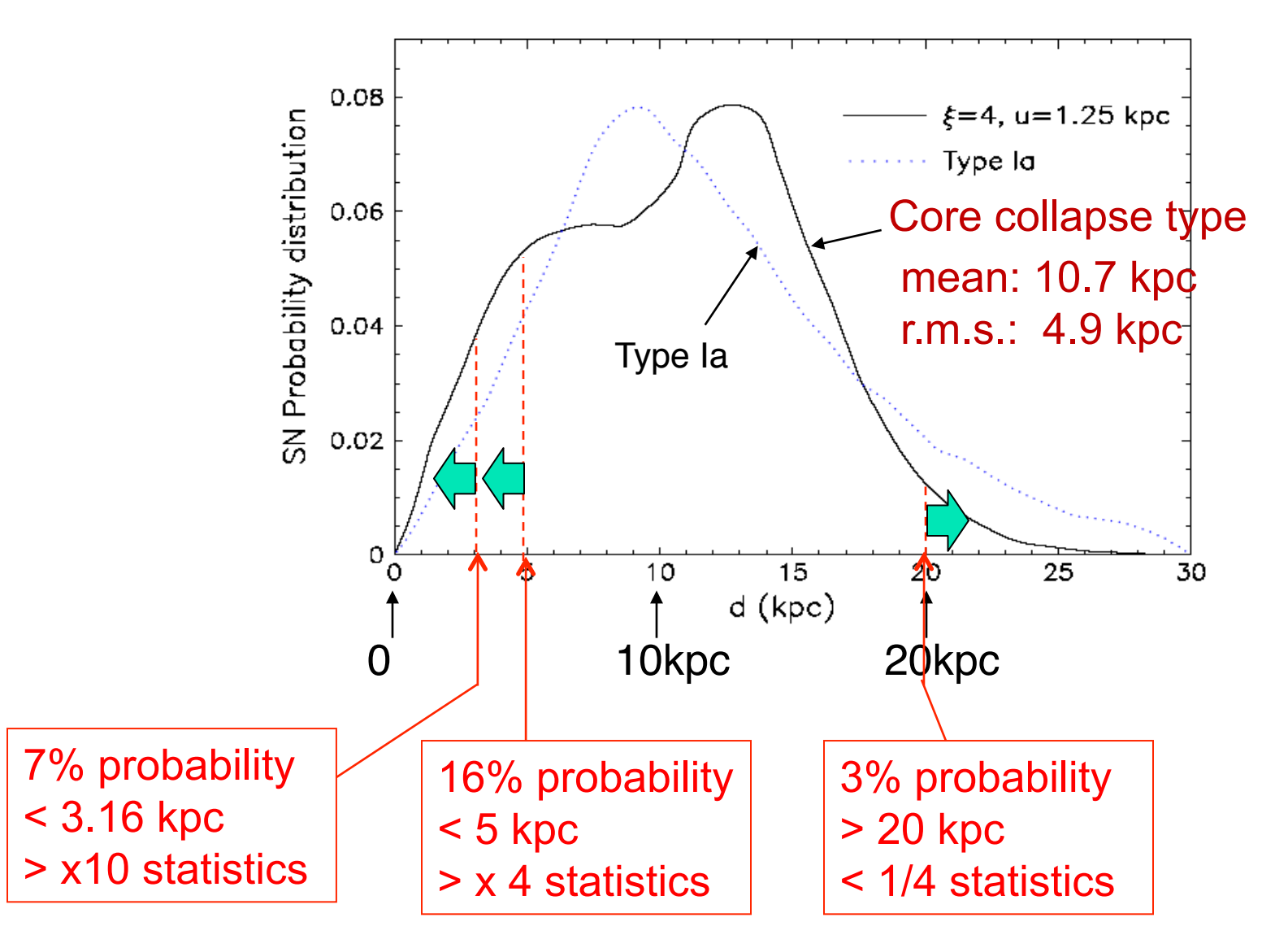
<u> </u>					
_		# of events are for 10kpc SN			
Super-	32,000 tons of water target.				
Kamiokande	~7300 v <sub>e</sub> p →e <sup>+</sup> n, ~300 ve→ve 散乱事象				
	精密なve スペクトルとve散	乱事象による方向性			
LVD	1000 ton liquid scintillator. 840 counters 1.5m <sup>3</sup> each. 4				
	MeV thres., ~50% eff. for tagging decayed signal.				
	~300 v <sub>e</sub> p → e <sup>+</sup> n 事象.				
KamLAND,	1000 ton liquid scintillator, single volume. $\sim 300  \overline{\nu}_e p$ ,				
SNO+	several 10 CC on $^{12}$ C, $\sim 60$ NC $\gamma$ , $\sim 300$ vp → vp NC事				
	象. vp NCイベントによるテ	このvx 温度の見積もり			
BOREXINO	300 ton liquid scintillator, si	ingle volume. $\sim 100  \overline{\nu}_{\rm e} p$ ,			
	$\sim 10$ CC on $^{12}$ C, $\sim 20$ NC $\gamma$ , $\sim$	$\sim 100 \text{ vp} \rightarrow \text{vp NC evts.}$			
	νp NCイベントによる元のν	x 温度の見積もり			
ICECUBE	Gigaton ice target. PMTノイズレートが一斉にあがる。				
	~0.75% statistical error at 0	.5s and 100ms bin for 10kpc			

SN.

#### 我々の銀河内での超新星までの距離

Mirizzi, Raffelt and Serpico, JCAP 0605,012(2006), astro-ph/0604300

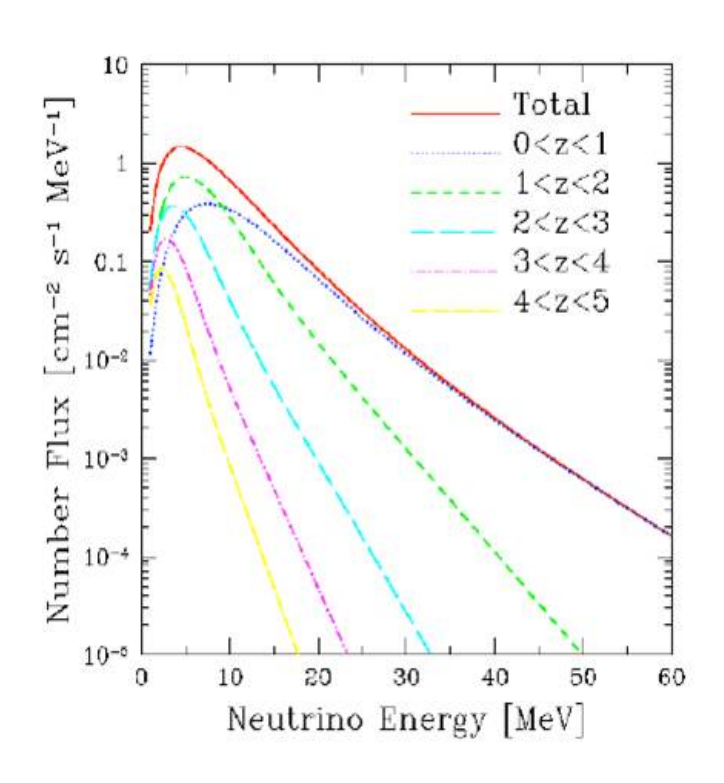
#### Based on birth location of neutron stars



### 超新星背景ニュートリノ

宇宙には10<sup>20</sup>個の恒星がある。(10<sup>9</sup>個の銀河、10<sup>11</sup>星/銀河) 全恒星の約0.3%が超新星爆発に至る。

したがって、宇宙の開闢から今までに約10<sup>17</sup>回の超新星爆発がおきてきたことになる。それにともなうニュートリノ(超新星背景ニュートリノ)は宇宙に満ちている。

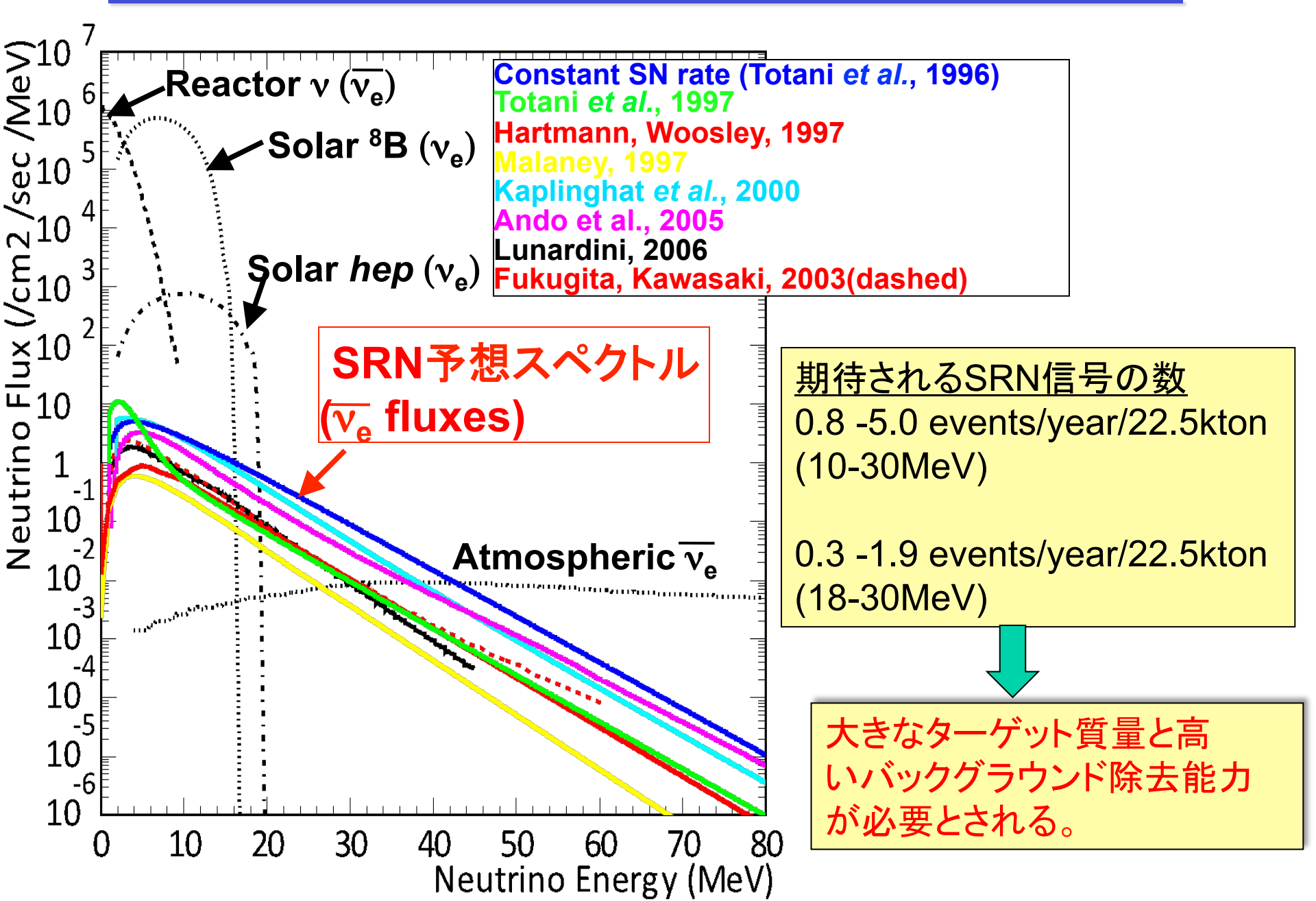


#### <u>超新星背景ニュートリノのスペクトル</u> (理論的な計算)

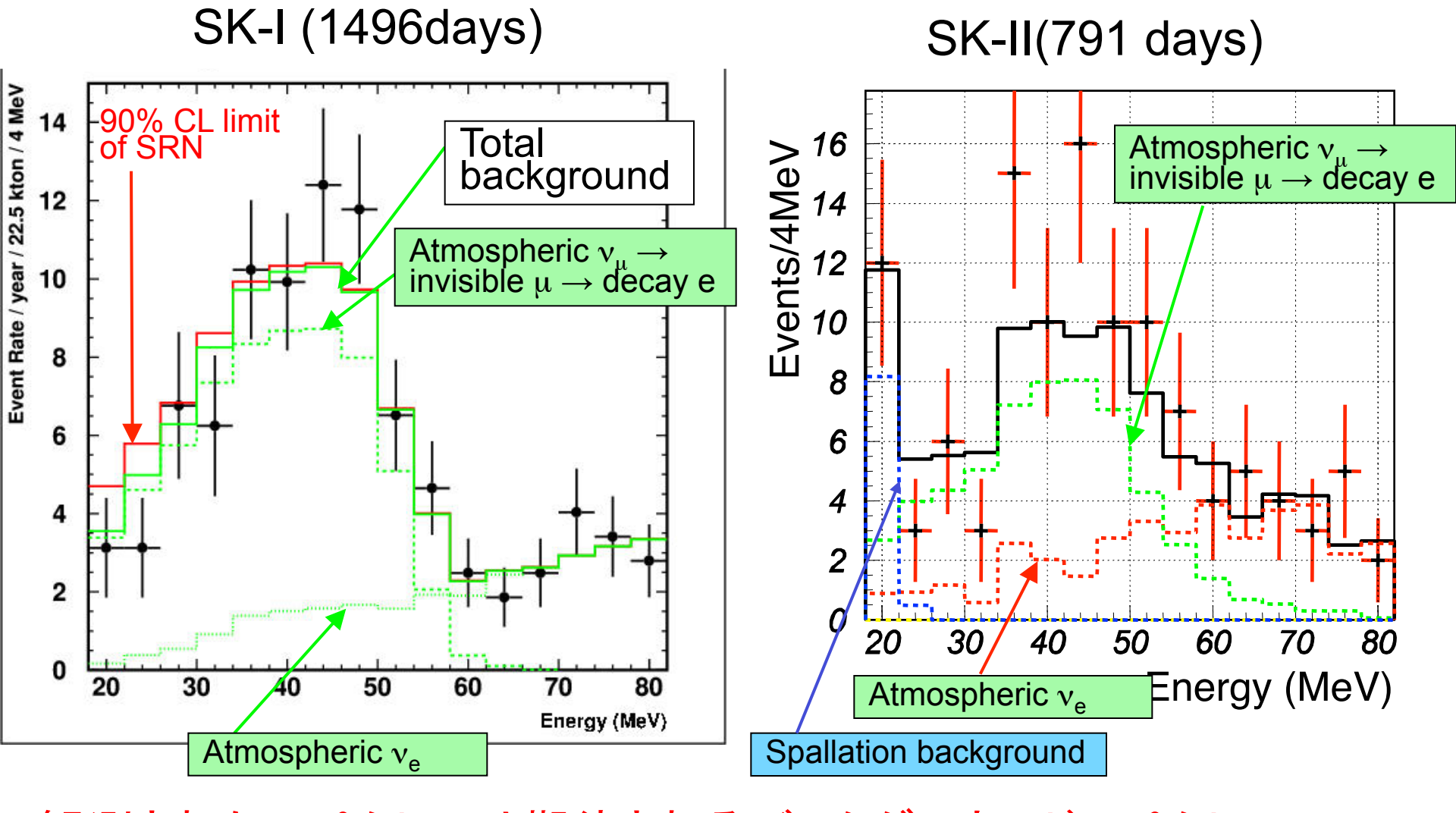
zはビッグバンからの時間をあらわし、大きいほど宇宙の初期をあらわす。

超新星背景ニュートリノ(Supernova Relic Neutrino(SRN))が観測されれば、宇宙の初めからの重元素合成の歴史を探ることができる。

### 超新星背景ニュートリノ(SRN)のスペクトル

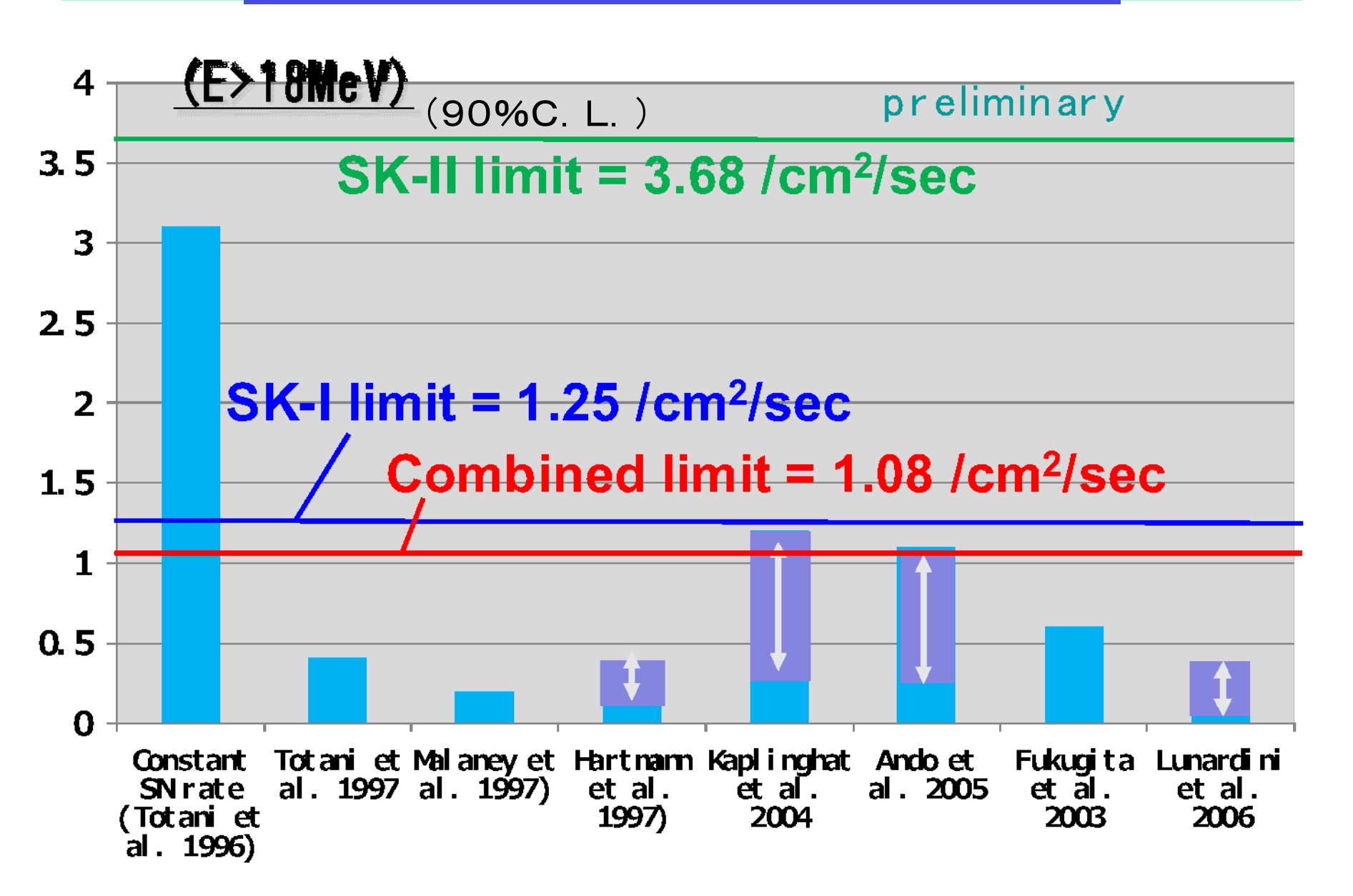


### SK-I、SK-IIのエネルギースペクトル (>18MeV)

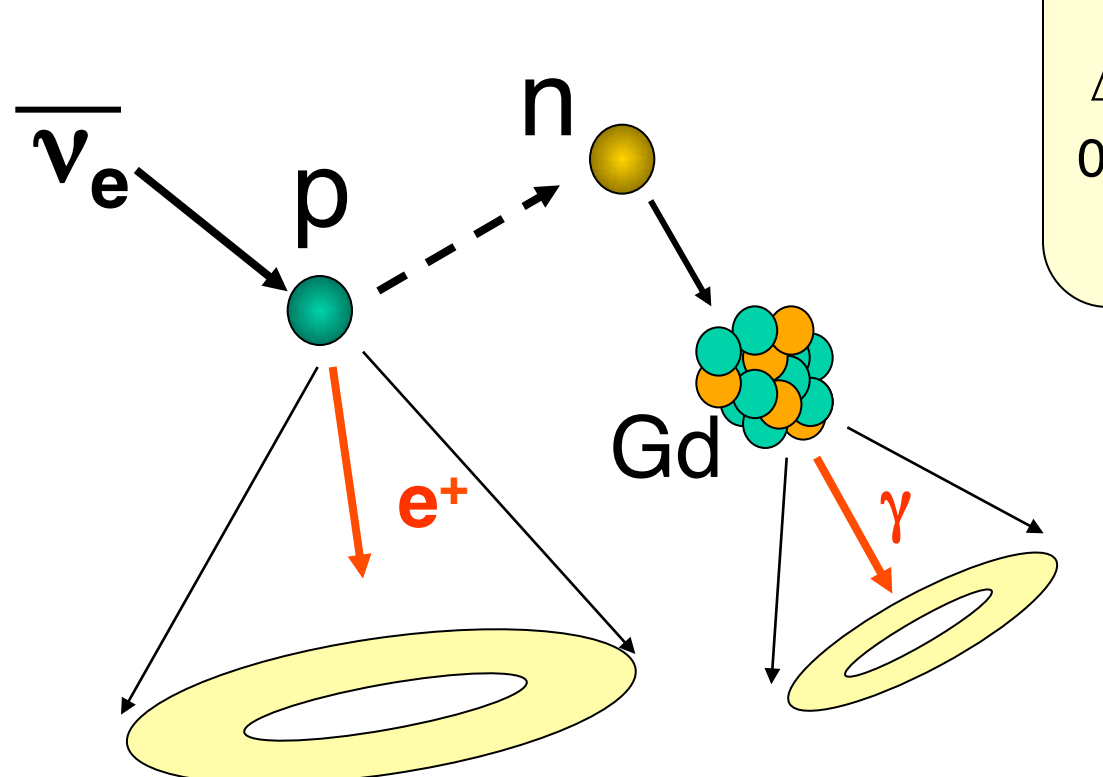


観測されたスペクトルは期待されるバックグラウンドスペクトル を良くあっている。

### Super-Kの今までの結果 強度上限値とモデル予想との比較



### ガドリニウムによる中性子タグ



n+Gd →~8MeV  $\gamma$ 

 $\Delta T = \sim 20 \mu sec$ 

0.2% Gd化合物を純水に加える。

(M. Vagins and J. Beacom)

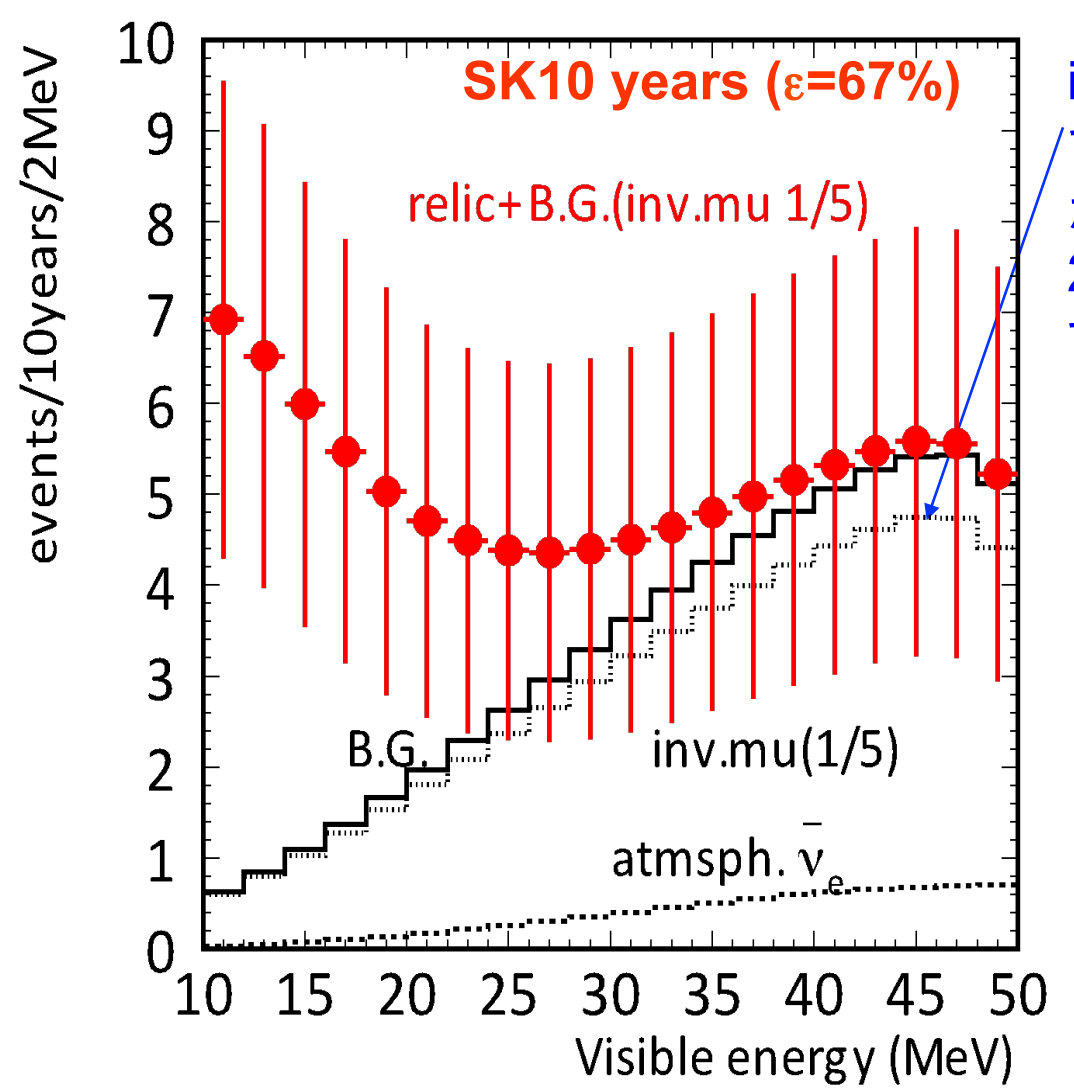
ポジトロンと中性子起源のガンマ線との距離は~50cm。

v<sub>e</sub>を中性子との同時計測で同定し、バックグラウンドを落とす。

### SRN観測の可能性

Relic model: S.Ando, K.Sato, and T.Totani, Astropart. Phys. 18, 307(2003) with flux revise in NNN05.

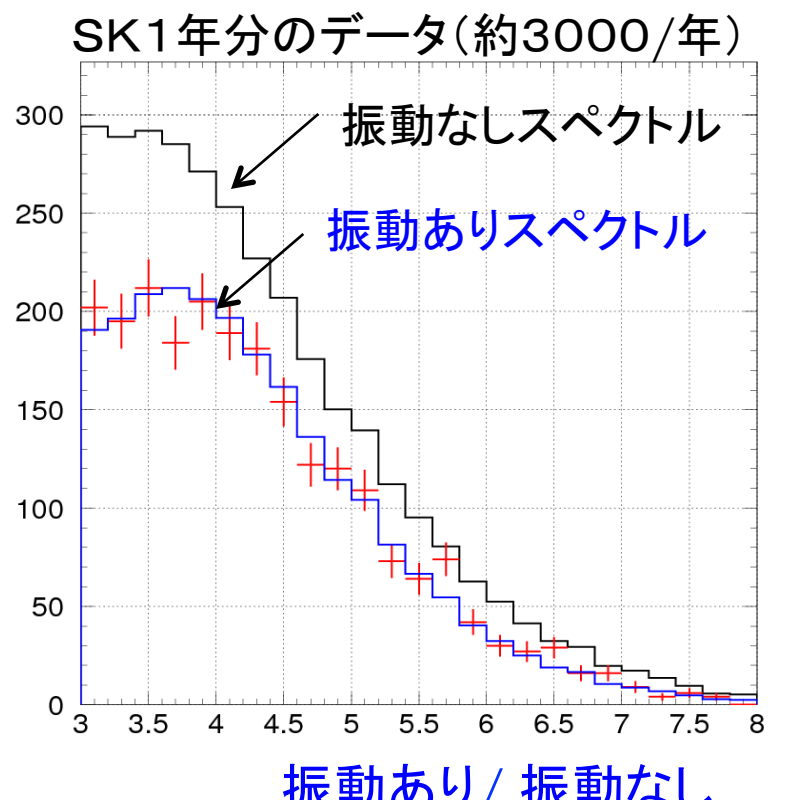
もし、invisible muon バックグラウンドが中性子タグで落とせれば、

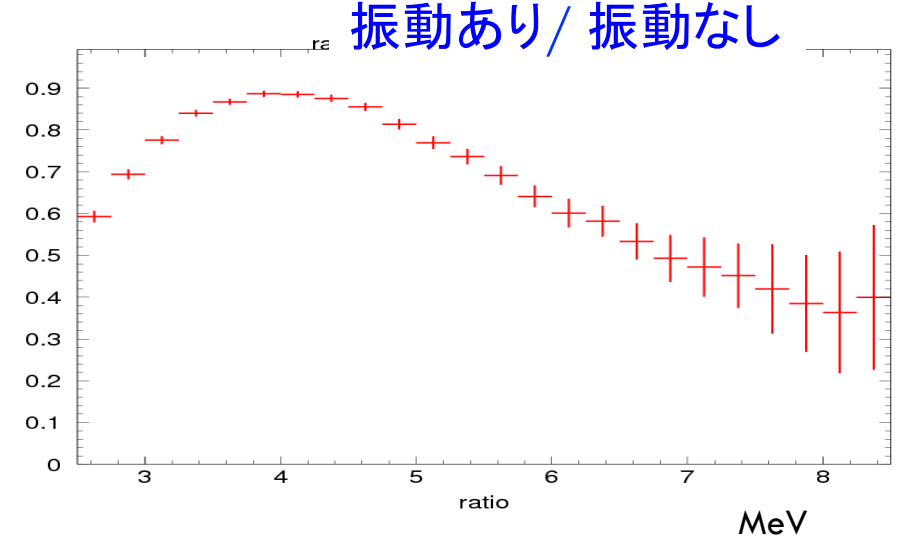


invisible muon B.G. が中性子タグ/で1/5になったと仮定。(この数字が正しいかどうかは、SK-IVで2.2MeVガンマ線を使って試験する。)
67% の信号検出効率を仮定。

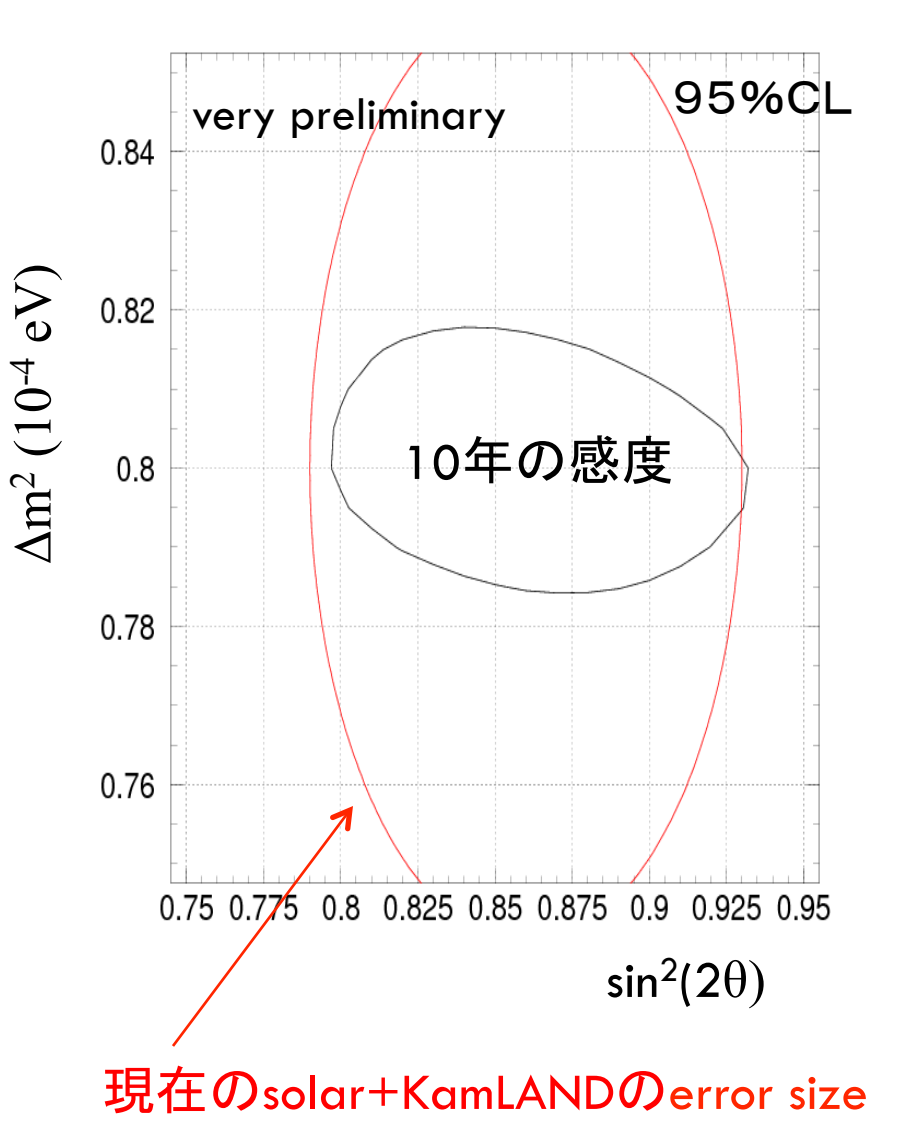
10年のSKデータで 信号: 33, B.G. 27 4のレベルの信号 (E<sub>vis</sub> =10-30 MeV)

### Gd中性子タグを用いた原子炉ニュートリノ





振動パラメータの測定感度(10年データ)

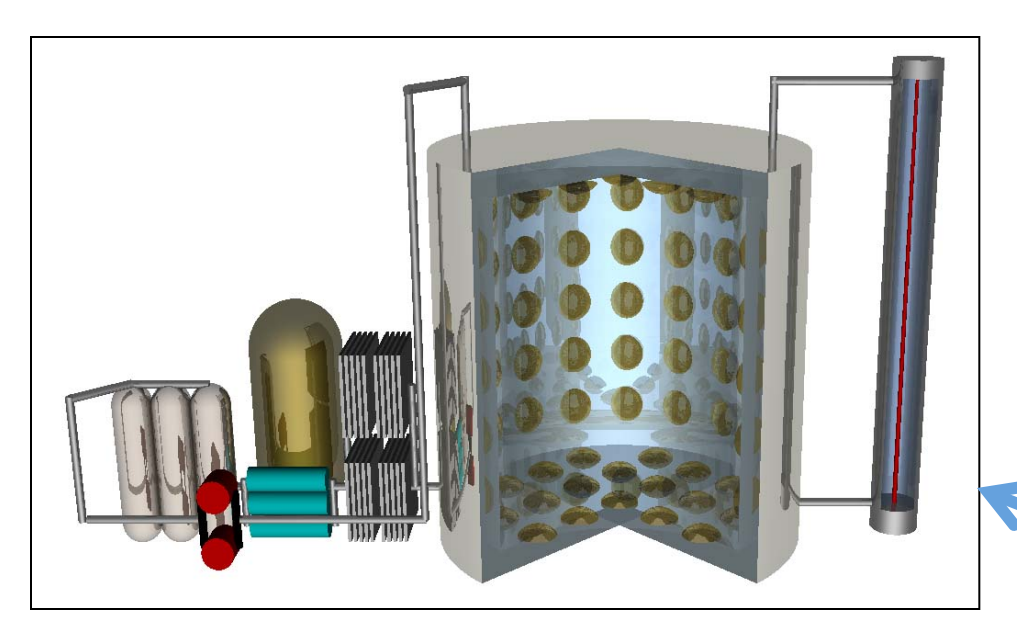


#### SKへGdを入れるための準備

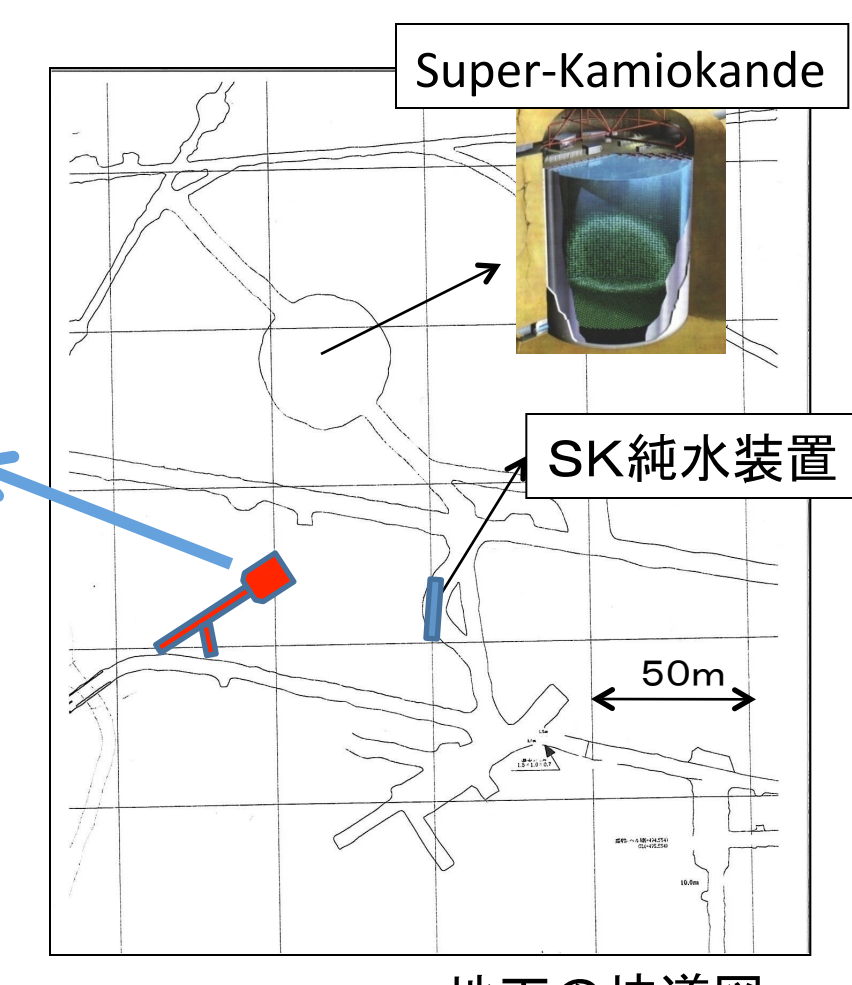
- ◆水の透過率に与える影響をスタディ SKでの他の物理に影響を与えないように透過率は十分長く
  - SKでの他の物理に影響を与えないように透過率は十分長くないといけない。
- ◆純水装置の改造 現純水装置ではイオンを取り除いてしまうので、ガドリニウムをとらずに 水を純化できるように純水装置を改造しなければならない。
- ◆Gd化合物による腐食 Gd化合物がタンク構造体、PMT材料を腐食させないか確認。
- ◆Gdの導入方法/除去方法のスタディ タンク内に一様に混合させる方法は? タンクから出す場合にどうすれば、迅速に、経済的に取り除くことができるか?
- ◆環境の中性子線が多数のイベントを作ることはないか? 環境中性子線の現象が太陽ニュートリノ観測などに影響を与えない か?

直径6mぐらいのテスト水タンクを作って以上のことをスタディする。

### ガドリニウムテスト用のタンク



- ▶テストタンク用の空洞を掘削(2009年9 -12月)
- ▶具体的な試験は、透過率の測定、純 化方法の検討、腐食の有無など。



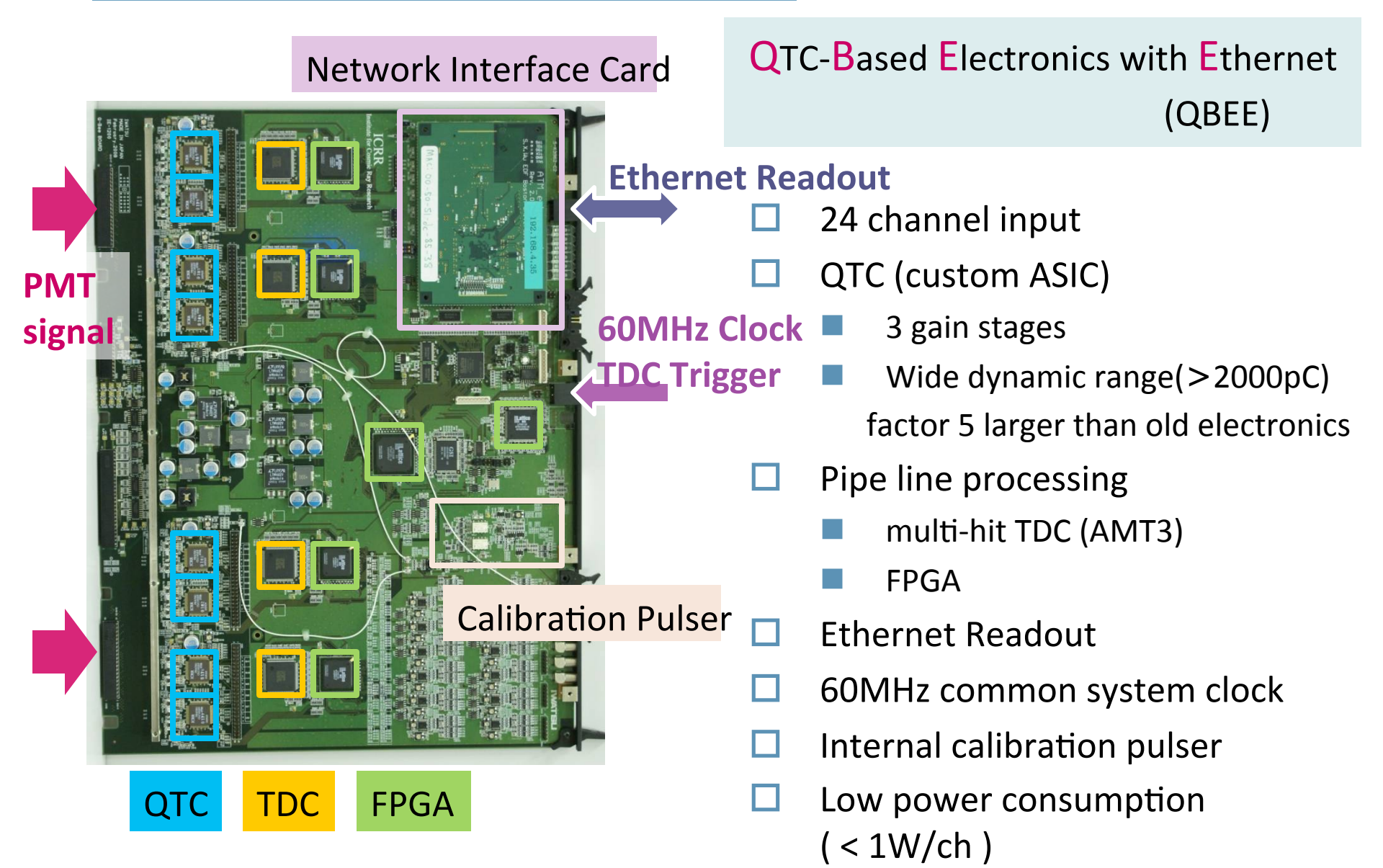
地下の坑道図

### まとめ

#### 大気ニュートリノ

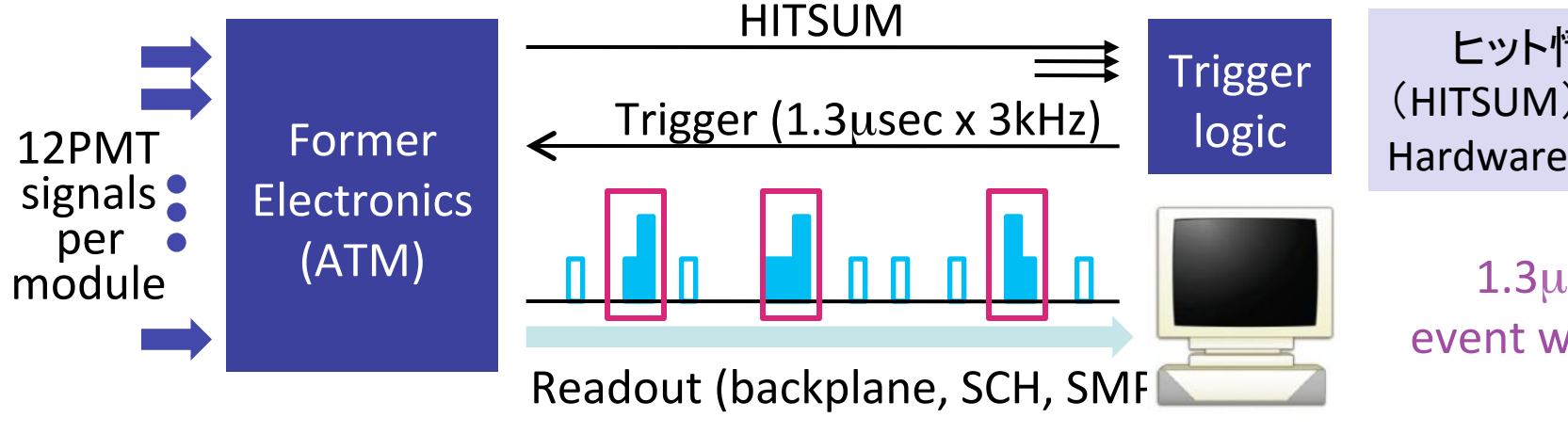
- θ<sub>13</sub>の探索。
- もし、θ<sub>13</sub>が非常に大きければ、階層性に対するヒントも?
- 太陽ニュートリノ
  - 振動パラメータの精密測定。原子炉√との比較。
  - 物質効果によるスペクトルの歪みを測定。
- 超新星爆発ニュートリノ
  - 銀河系内で起きてくれれば、高統計観測。
- 超新星背景ニュートリノ
  - もし、観測できれば星形成の歴史を探ることができる。
  - 期待されるニュートリノ強度が弱いため、SKクラスの質量と中性子をタグする技術が必要。
  - SKにGdを入れるG&Dが進んでいる。

#### SK-IVでインストールされた新電子回路, QBEE



#### 新電子回路のデータ収集システム(旧システムとの違い)

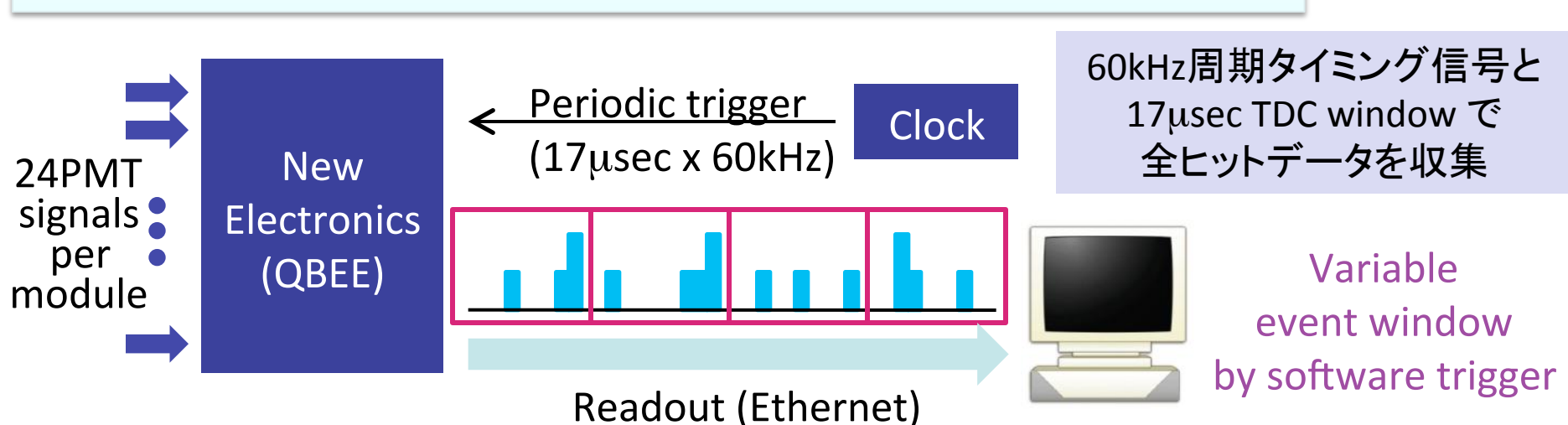
#### 旧システム: ハードウェアトリガー → データ取り込み



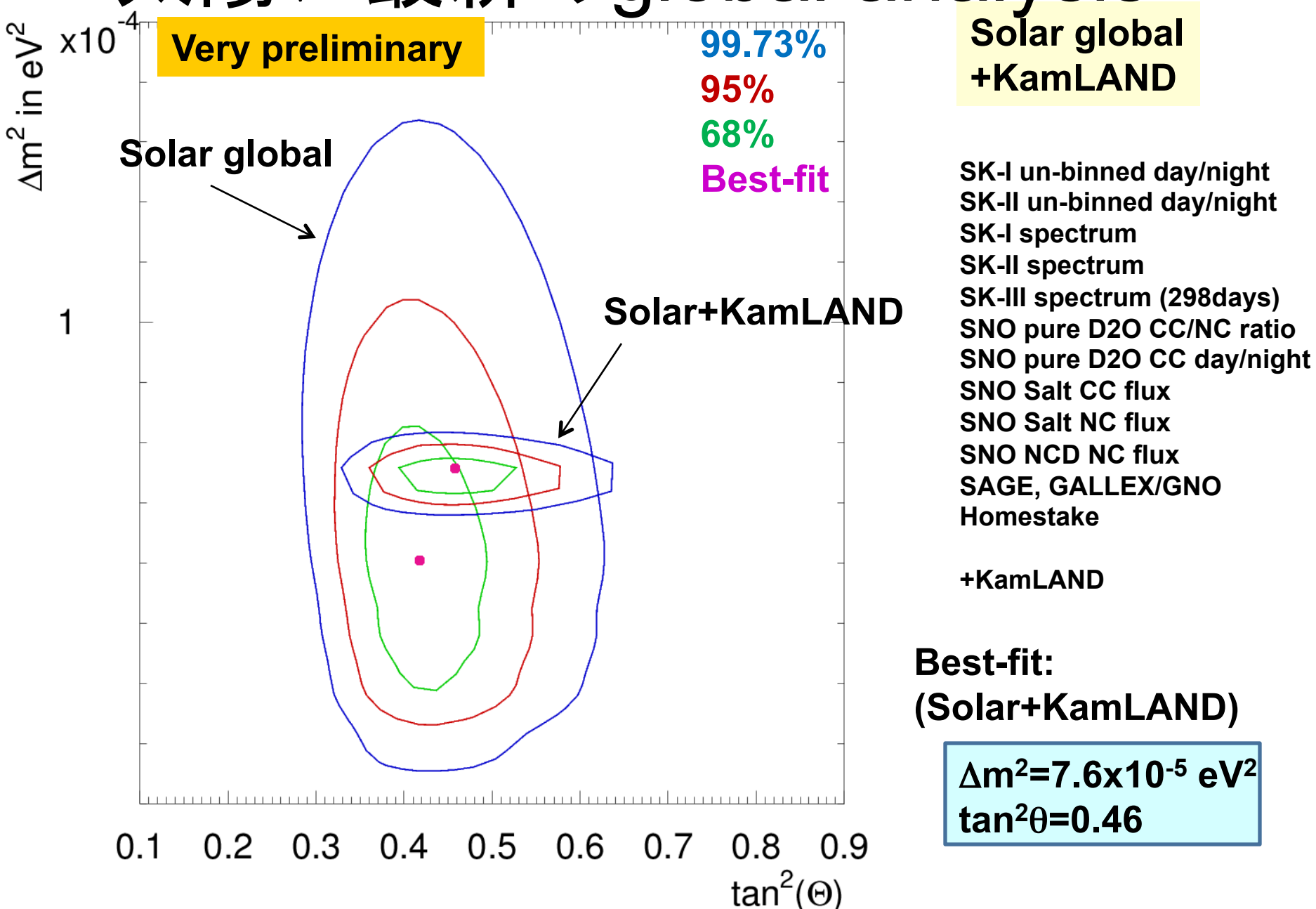
ヒット情報 (HITSUM)による Hardware Trigger

1.3µsec event window

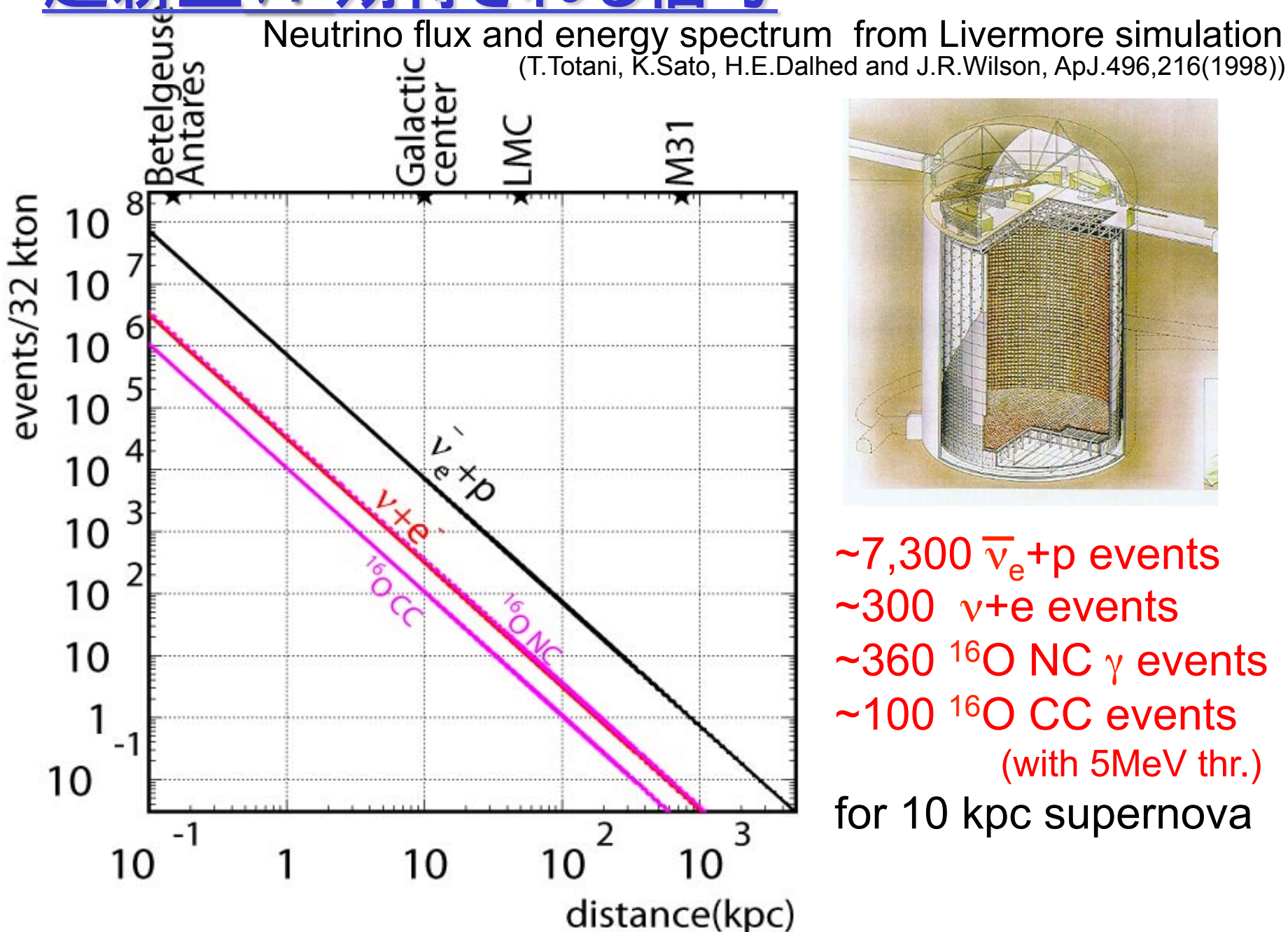
#### 新システム:全データ取り込み → ソフトウェアトリガー



太陽v: 最新のglobal analysis

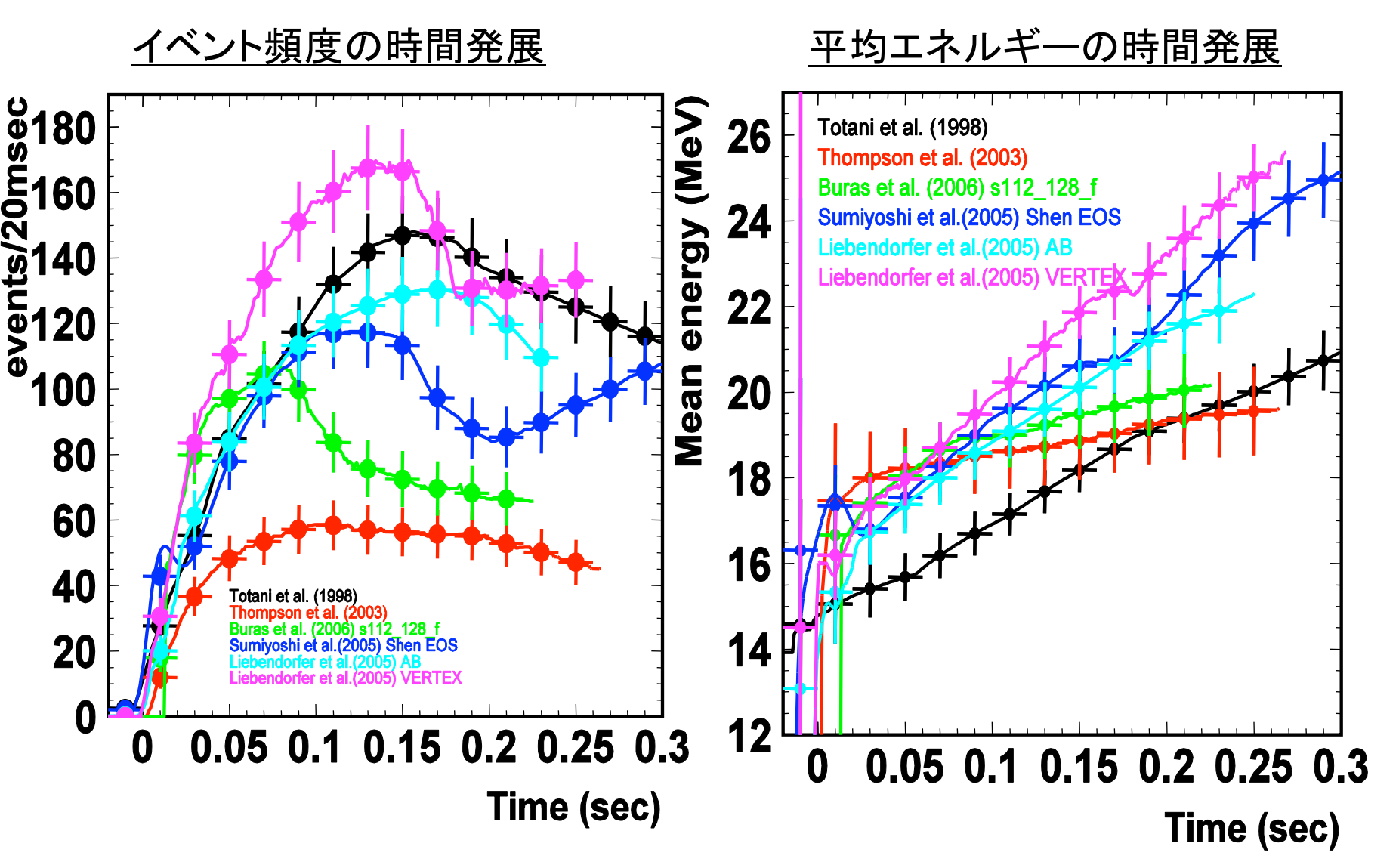


### <u>超新星v: 期待される信号</u>



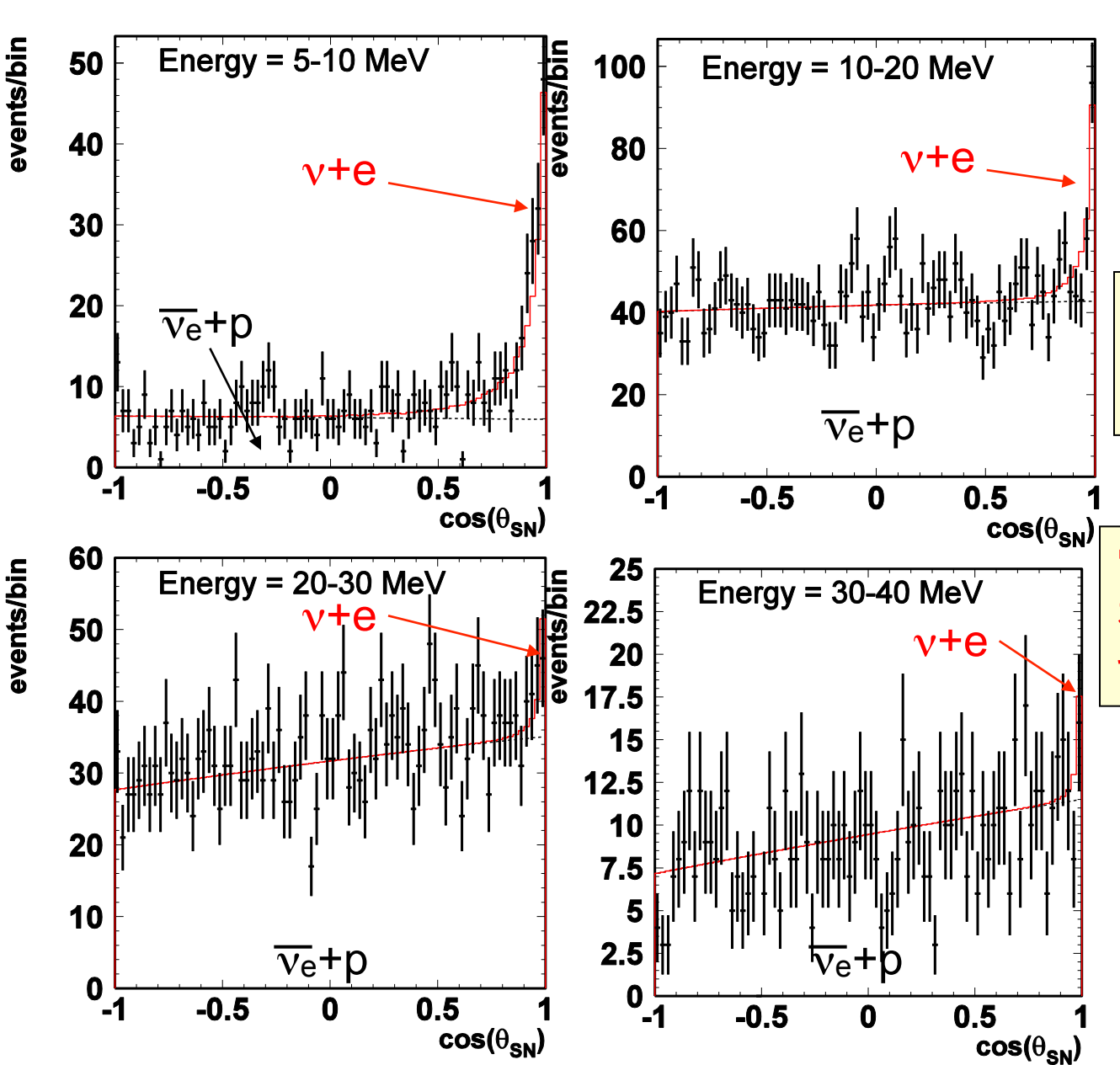
### モデルの違いに対するSKデータの感度

10kpcでの超新星を過程。



モデルの識別ができるほどの高統計

#### 超新星との方向分布による電子散乱事象の選別



#### SN at 10kpc

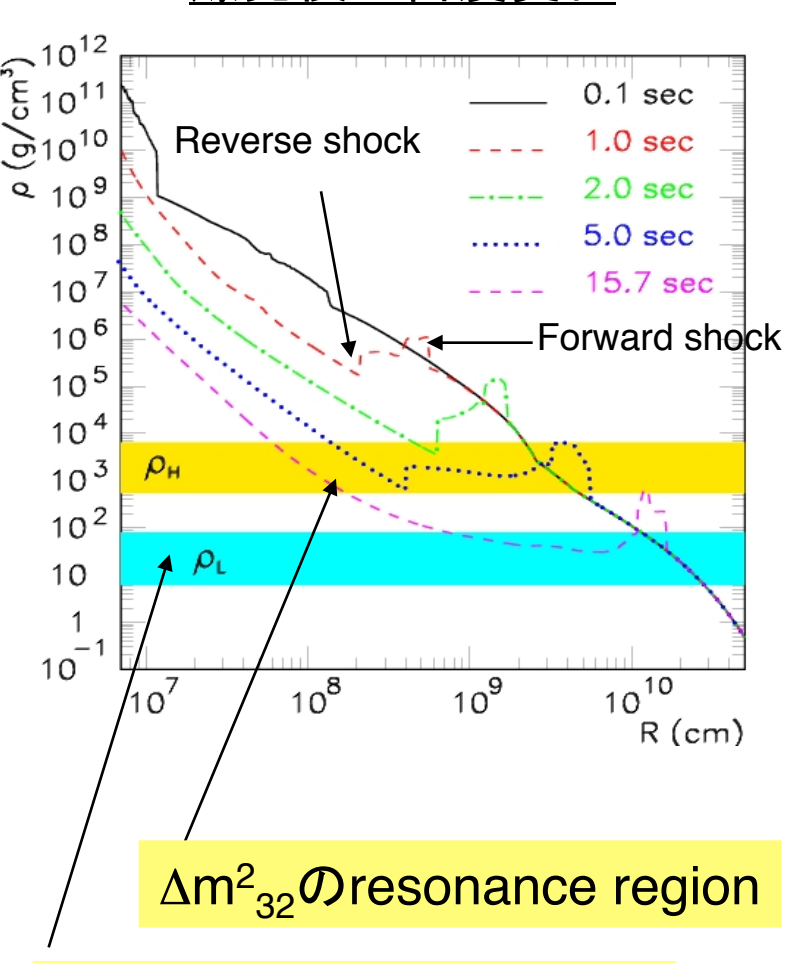
電子散乱事象を使うこと によって超新星の方向 <u>を ~5度の精度で決</u> 定できる。

電子散乱事象を角度分 布から統計的に選び出 すことができる。

Neutrino flux and spectrum from Livermore simulation

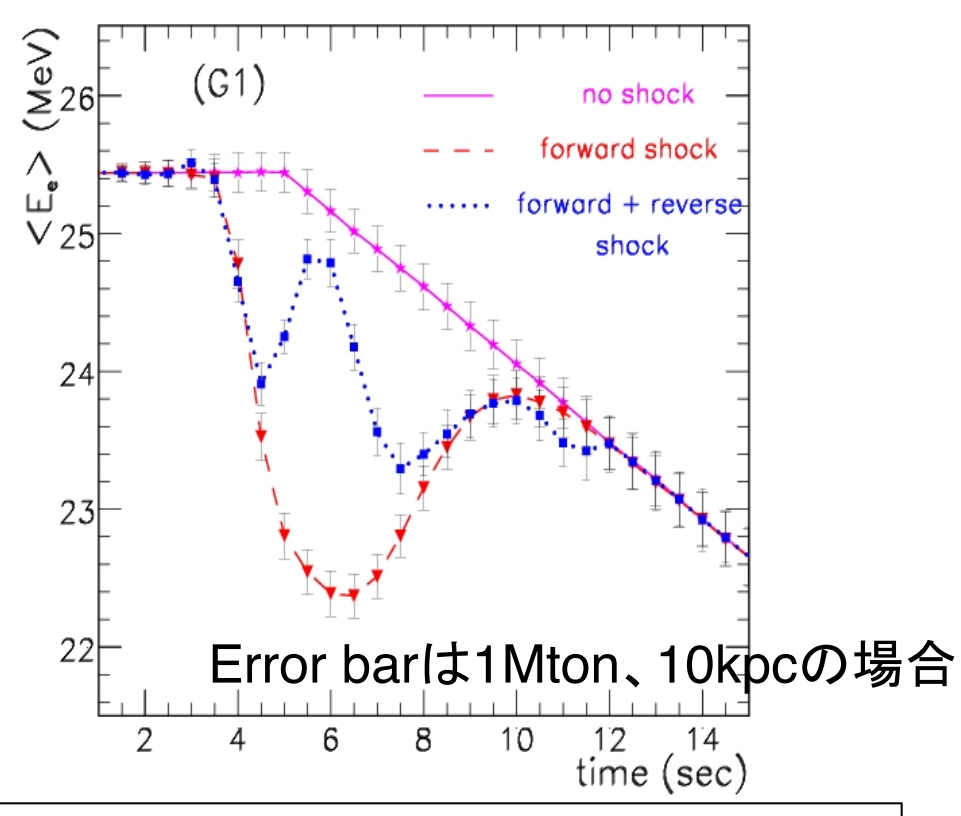
#### 平均エネルギー測定によるニュートリノ振動 未知パラメータ決定の可能性

#### 爆発後の密度変化



 $\Delta m_{21}^2 \mathcal{O}$  resonance region

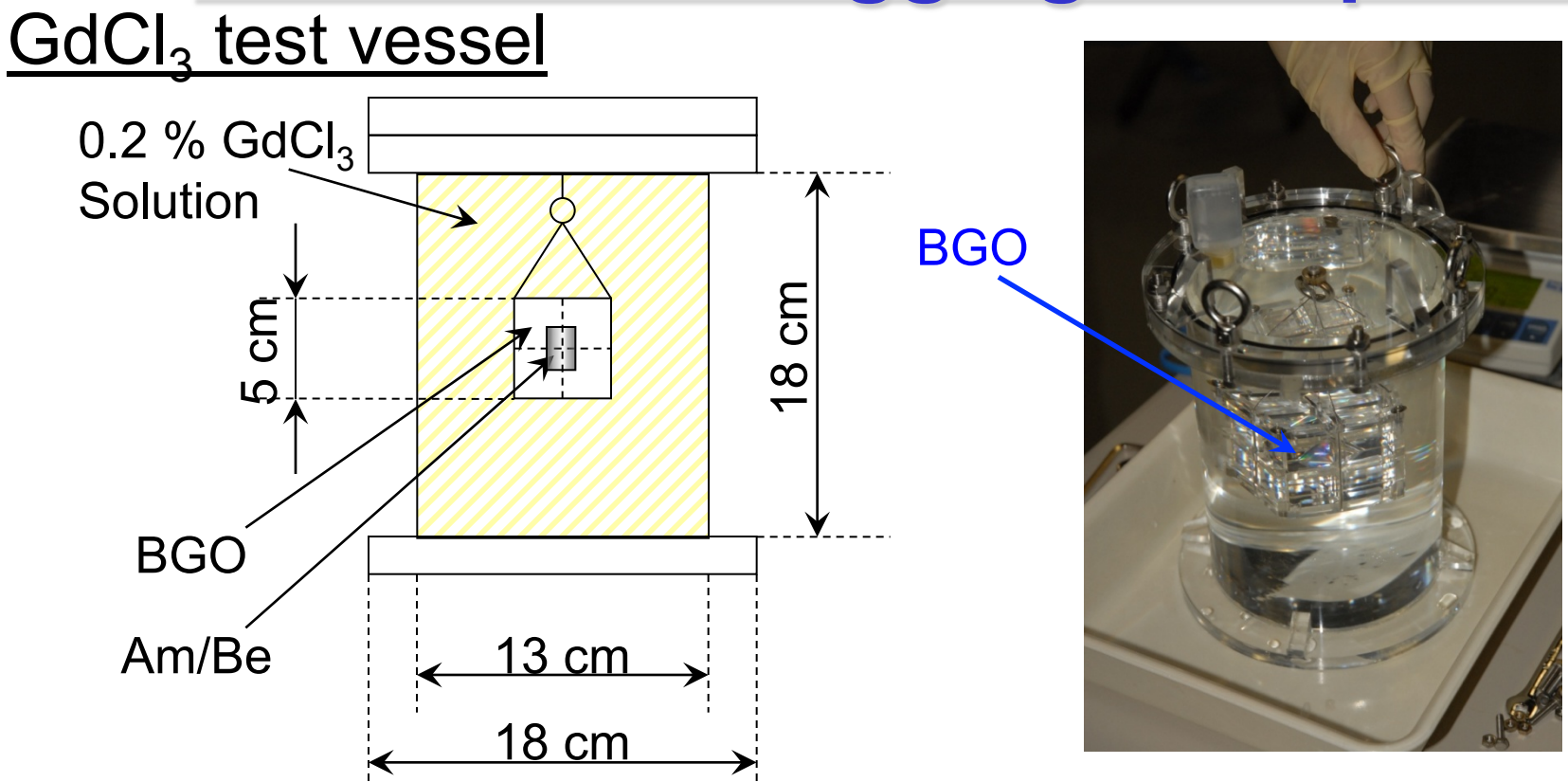
R. Tomas, et al., JCAP 0409, 015 2004 平均エネルギー変化



Inverted hierarchy,  $\sin^2\theta_{13}=10^{-2}$ を仮定 ( $\sin^2\theta_{13}=\sim5x10^{-5}$ まで影響が現れる。)

これが爆発機構によるのか、ニュートリノ振動によるのかは、中性カレントガンマ線事象などを使って切り分けができる。

### Test neutron tagging at Super-K



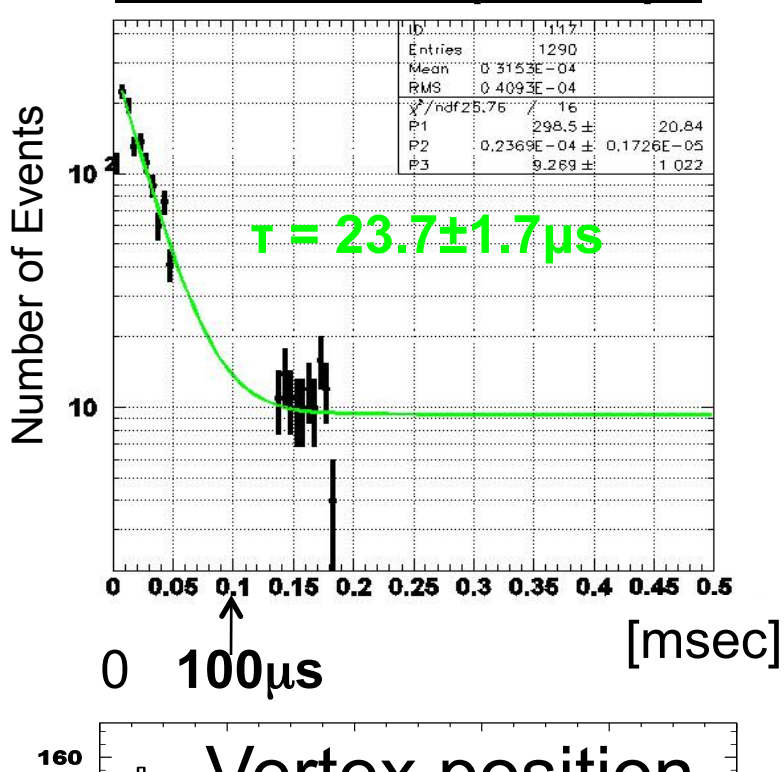
This apparatus deployed in the SK tank.

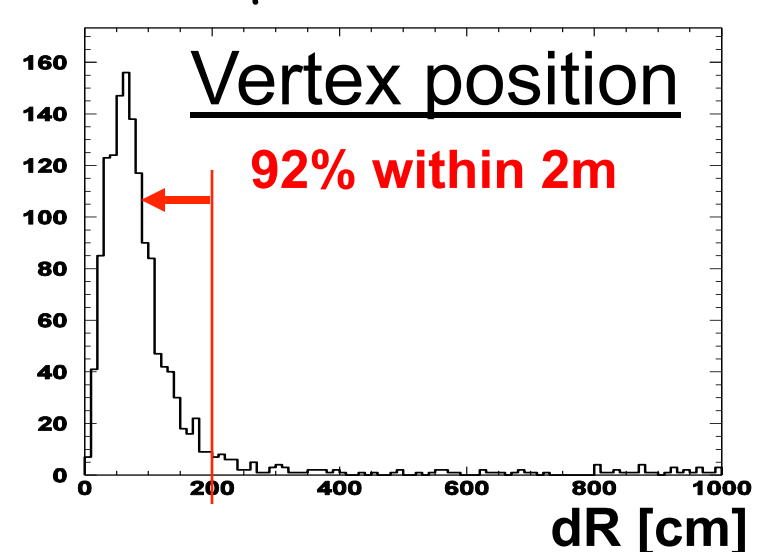
BGO signal (prompt signal (large and long time pulse))  $\alpha + {}^{9}\text{Be} \rightarrow {}^{12}\text{C}^* + n$   $\uparrow \text{ signal (delayed signal)}$ 

$$\frac{^{12}\text{C*} \rightarrow ^{12}\text{C} + \gamma(4.4 \text{ MeV})}{n + p \rightarrow \dots \rightarrow n + Gd \rightarrow Gd + \gamma \text{ (totally 8 MeV)}}$$

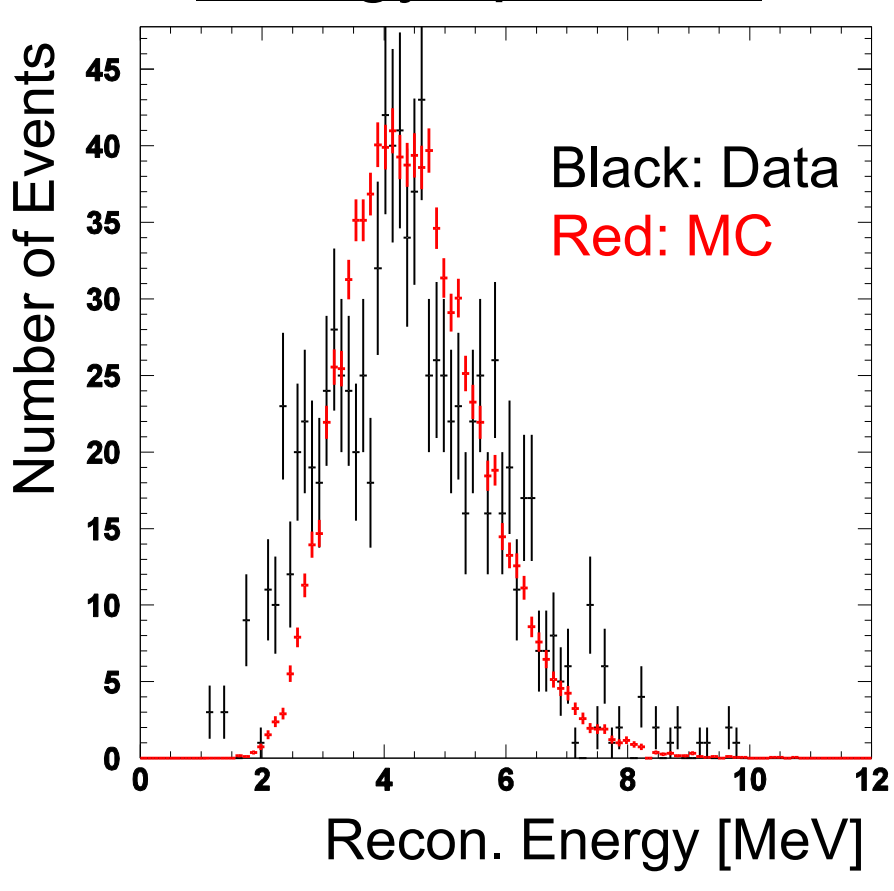
### Cherenkov signal of Gd gamma rays







#### **Energy spectrum**



Measured time, vertex and energy distributions are as expected from the MC simulation.

#### Tagging efficiency and BG reduction

SRN

#### Selection criteria of delayed signal:

- Vertex position within 2m
- Energy of delayed signal > 3MeV
- Time after the prompt within 60µsec.
- Ring pattern cuts

Selection efficiency is ~74%.

With 90% capture eff. by 0.2% Gd,

→ Tagging efficiency is 67%

While the chance coincidence prob. is estimated to be ~2×10<sup>-4</sup>

It almost satisfy the requirement to remove remaining spallation background at 10 MeV.

